

# Bulletin mensuel

Mars 2026

ISSN 2680 – 1205

## **Bulletin de l'activité sismo-volcanique à Mayotte**

### Évolution au cours du dernier mois

- Entre le 1<sup>er</sup> et le 31 mars 2026, **300 séismes Volcano-Tectoniques** (VT ; séismes dont la gamme de fréquence est la plus large, de 2Hz à 40Hz), **139 séismes Longue Période** (LP ; basse fréquence, fréquence entre 0,5 et 5 Hz) et **2 séismes Très Longue Période** (VLP ; très basse fréquence, période d'environ 15 secondes) ont été détectés par le REVOSIMA. L'activité sismique principale est toujours concentrée à 5-15 km à l'est de Petite-Terre, à des profondeurs de 20-50 km.

- Depuis fin 2020, aucune déformation significative n'est enregistrée.

**Évènement en cours** : activité sismique en cours entre 5 et 50 km à l'Est de Mayotte et émissions de fluides sur la zone du Fer à Cheval. L'éruption de Fani Maore ne présente plus d'évolution avérée depuis MAYOBS17 (18/01/2021), les dernières preuves d'éruption active ayant été observées directement lors de la campagne MD228-MAYOBS15 le 22/10/2020. De plus, les différentiels bathymétriques réalisés entre les données de la campagne MAYOBS17 (17-01- au 06-02-2021) et celle de la campagne MD228-MAYOBS15 ont montré qu'il y avait eu en plusieurs sites une addition de volume attribuée à une nouvelle émission de lave entre octobre 2020 et le 18 janvier 2021. Sur la base de l'arrêt soudain de signaux impulsions détectés par le réseau d'hydrophones, la fin de l'éruption pourrait dater du 04/12/2020 (*Lavayssière et al, 2024*).

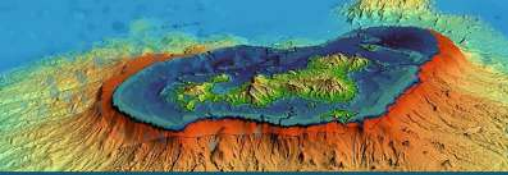
Aucune hypothèse n'est pour l'instant écartée quant à l'évolution de la situation (arrêt définitif, reprise de l'activité éruptive sur le même site, reprise de l'activité éruptive sur un autre site), compte tenu de l'activité sismique persistante et d'émissions de fluides (dioxyde de carbone liquide d'origine magmatique) localisées dans la zone du Fer à Cheval, qui étaient toujours présentes lors de la dernière campagne en mer MD248-MAYOBS33 réalisée en septembre-octobre 2025.

**Fani Maoré** : latitude : -12,9108712° ; longitude : 45,7118940° ; hauteur : 817 (± 10) m (données issues de mesures acoustiques réalisées en 2019 et 2020 par le REVOSIMA) ; profondeur à la base du site éruptif : -3404 (± 43) m

Volume de magma érupté en date d'octobre 2021 : environ 6,55 km<sup>3</sup>

**Fer à Cheval** : latitude : -12,823248° ; longitude : 45,384717° ; profondeur : env. -1500 m

Global Volcanism Report Smithsonian Institution, catalogue des volcans du monde : Mayotte : numéro 233005 ; <https://volcano.si.edu/volcano.cfm?vn=233005>



## Veille scientifique renforcée



Ce bulletin représente une synthèse des observations, mesures, et conclusions préliminaires sur l'activité sismo-volcanique enregistrée par le Réseau de surveillance Volcanologique et Sismologique de Mayotte (REVOSIMA) qui s'appuie sur les données des stations de mesures à terre.

L'IPGP et le BRGM assurent la coordination et le pilotage du REVOSIMA. La surveillance opérationnelle de l'activité sismo-volcanique est réalisée par l'IPGP (OVPF) en co-responsabilité avec le BRGM et en étroite association avec l'IFREMER et le CNRS. Le REVOSIMA, financé par l'État (Ministère de l'enseignement supérieur et de la recherche, Ministère de la transition écologique, Ministère de l'intérieur, Ministère des Outre-mer), bénéficie de l'appui d'un large consortium de partenaires scientifiques français: IPGP et Université Paris Cité, BRGM, IFREMER, CNRS, BCSF-RéNaSS, ITES et Université de Strasbourg, IGN, ENS, SHOM, TAAF, CNES, Université Grenoble Alpes et ISTERre, Université Clermont Auvergne, LMV et OPGC, Université de La Réunion, Université Paul Sabatier, Toulouse et GET-OMP, Université de la Rochelle, Université de Bretagne Occidentale, IRD et collaborateurs.

Depuis le début de la crise en mai 2018, l'État adapte en continu, les mesures de surveillance et de prévention pour faire face à ce phénomène géologique exceptionnel qui impacte la population mahoraise et plus largement cette partie de l'océan indien.

Ce bulletin mensuel est distribué publiquement. Les informations dans ce bulletin sont à usage d'information, de pédagogie et de surveillance. Elles ne peuvent pas être utilisées à des fins de publications de recherche sans y faire référence explicitement et sans autorisation du comité de suivi de la surveillance du REVOSIMA. Les données sismiques sont distribuées par l'IPGP (Centre de données : <http://datacenter.ipgp.fr/> et <http://volobsis.ipgp.fr/data.php>) et par les Services Nationaux d'Observations du CNRS-INSU. Les données GNSS (Global Navigation Satellite System, système global de positionnement par satellite) sont distribuées par l'Institut National de l'Information Géographique et Forestière (IGN : <http://mayotte.gnss.fr/donnees>). Les données acquises lors des campagnes océanographiques seront distribuées par l'IFREMER, les autres données géologiques et géochimiques seront diffusées par le REVOSIMA et ses partenaires.

**Un bulletin automatique préliminaire d'activité du REVOSIMA, relatif aux activités de la veille, validé par un.e analyste, est publié depuis le 17 mars 2020 quotidiennement. Il est accessible directement sur ce lien :**

[https://www.ipgp.fr/volcanoweb/mayotte/Bulletin\\_quotidien/bulletin.html](https://www.ipgp.fr/volcanoweb/mayotte/Bulletin_quotidien/bulletin.html)

## ☰ Résumé détaillé

1. L'île volcanique de Mayotte est l'une des quatre îles de l'archipel volcanique des Comores, située dans le Canal du Mozambique entre Madagascar et l'Afrique. Depuis environ 20 millions d'années, le volcanisme sur Mayotte a produit une grande diversité de reliefs et de produits volcaniques. Les lithologies observées sont des empilements de coulées de basaltes, de néphélinites et de téphrites, des dômes phonolitiques et des dépôts pyroclastiques (Nehlig et al., 2013). Les laves ont une composition chimique fortement alcaline pauvre en silice au sud (environ 10 Ma) et modérément sous-saturée en silice au nord (environ 4 Ma ; Debeuf, 2004, Pelleter et al., 2014). L'activité volcanique s'est poursuivie au Quaternaire récent ( $\leq 12\ 000$  ans) comme le montrent les morphologies volcaniques peu érodées au nord-est de Mayotte et sur Petite-Terre. Des éruptions explosives au nord-est de Mayotte et sur Petite-Terre ont produit de nombreux cônes de scories présents autour de Mamoudzou (Grande-Terre) et de Dzaoudzi, Labattoir, Pamandzi (Petite-Terre), et les maars (formés lors de l'interaction explosive entre l'eau de mer et le magma) et tuff-cones de Kavani et de Kawéni (Grande-Terre) et de Moya, La Vigie et Ndziani (Petite-Terre). Les dépôts pyroclastiques à cendres et ponces d'origine phréatomagmatique recouvrent des basaltes vacuolaires datés à 150 000 ans B.P. (Debeuf, 2004). La présence de niveaux de cendres volcaniques dans les sédiments datés du lagon, indiquerait que la dernière activité volcanique et explosive à terre aurait eu lieu avant  $7305 \pm 65$  Cal BP (Zinke et al., 2003 ; 2005) et probablement entre 4000 et 6000 ans (Zinke et al., 2000). De nombreux cônes sous-marins sont présents également sur la pente insulaire de Mayotte (Audru et al., 2006) et tout particulièrement le long d'une chaîne volcanique orientée NO-SE (Feuillet et al., 2021).

2. L'archipel des Comores se situe dans une région sismique considérée comme modérée. Depuis mai 2018, la situation volcano-tectonique a évolué. Une activité sismique affecte l'île de Mayotte depuis le début du mois de mai 2018 (Lemoine et al., 2020). Ces séismes forment deux essais avec des épencentres regroupés en mer, entre 5 et 15 km à l'est de Petite-Terre pour l'essai sismique proximal (le plus proche de Petite-Terre, nommé précédemment essai principal), et à 25 km à l'est de Petite-Terre pour l'essai sismique distal (le plus éloigné de Petite-Terre et qui s'étend le long de l'alignement de cônes volcaniques jusqu'au site éruptif, nommé précédemment essai secondaire), à des profondeurs comprises majoritairement entre 25 et 50 km. La majorité de ces séismes est de faible magnitude, mais plusieurs événements de magnitude modérée (max.  $M_w 5.9$  le 15 mai 2018) ont été fortement ressentis par la population et leur succession a endommagé certaines constructions (rapport BCSF-RENASS juillet 2018). **Depuis juillet 2018, le nombre de séismes a diminué mais une sismicité continue persiste. Celle-ci fluctue mais peut toujours générer des séismes de magnitudes proches de M4 ressentis à terre. Le dernier séisme de  $M > 4$  date du 27 août 2024 (M4.9). Du 1<sup>er</sup> au 31 mars 2026, 300 séismes Volcano-Tectoniques (VT), 139 séismes Longue Période (LP) et 2 séismes Très Longue Période (VLP) ont été détectés par le REVOSIMA.**

La majorité des séismes LP a eu lieu lors d'essais de quelques dizaines de minutes, et souvent associé à des signaux VLP. Ces signaux LP et VLP sont habituellement associés dans la littérature à des résonances et des mouvements de fluide (magmatique ou hydrothermal).

3. Les déplacements de surface mesurés entre le 1<sup>er</sup> juillet 2018 et fin 2020 par les stations GNSS de Mayotte ont indiqué : a) un déplacement d'ensemble des stations GNSS de Mayotte vers l'est d'env. 21 à 25 cm ; b) un affaissement (subsidence) d'environ 10 à 19 cm selon leur localisation sur l'île. Un ralentissement des déplacements a été observé en avril-mai 2019. **Depuis fin 2020, il n'y a plus de cohérence dans les signaux de déformation qui sont devenus trop faibles et ne sortent pas du bruit, il n'y a plus de signaux interprétables.** Les premières modélisations simples, utilisant une source unique isotrope localisée en un point, montrent que les déplacements des premiers mois de la crise pourraient être induits par la déflation d'un réservoir magmatique profond à l'est de Mayotte (note Briole et al., 2018 ; bulletins mensuels 2018 OVPF/IPGP ; Peltier et al., 2022). Aux données à terre, se rajoutent les données des capteurs de pression A-0-A qui sont installées sur le fond océanique sur le site de la Couronne et sur le site de référence localisé au nord des sites actifs (nord-est de Petite-Terre sur la pente de Mayotte). L'analyse préliminaire des différences de pression mesurées par les deux capteurs sous-marins de pression A-0-A lors de la mission MD248-MAYOBS33 (25 septembre au 14 octobre 2025) suggère :

**1) qu'il n'y a pas eu de déformation lente significative entre les deux sites distants d'environ 9,5 km (résidu  $< \sim 0.25$  cm/an),**

2) qu'il n'y a pas eu de déformation transitoire pouvant correspondre à une activité de pulse magmatique ou de déformation tectonique, relative entre les deux sites.

3) que si une déformation existe dans la zone, celle-ci affecte les deux sites de la même manière.

4. Du 02 au 18 mai 2019, une campagne océanographique (MD220-MAYOBS1 ; *Feuillet, 2019*) sur le N/O Marion Dufresne a permis la découverte d'un nouveau site éruptif sous-marin à 50 km à l'est de Mayotte qui a formé un édifice d'au moins 800 m de hauteur sur le plancher océanique situé à 3500 m de profondeur d'eau. Les campagnes suivantes (MD221-MAYOBS2 - 10-17 juin 2019 ; MD222-MAYOBS3 - 13-14 juillet 2019 ; et MD223-MAYOBS4 - 19-31 juillet 2019 ; Levés Mayotte du SHOM sur le BHO Beauteemps-Beaupré, SHOM-MAYOBS5 - 20-21 août 2019 ; MAYOBS13-2 4-11 mai 2020 ; MD228-MAYOBS15 - 1-26 octobre 2020 ; MAYOBS17 - 17-21 janvier 2021 ; *Rinnert et al., 2019*) ont mis en évidence de nouvelles coulées de lave, au sud, à l'ouest et au nord-ouest du nouveau site éruptif, laissant supposer la présence de plusieurs points de sortie de lave dans la région du nouveau site éruptif. Depuis le mois d'août 2019, les nouvelles coulées de lave ont uniquement été observées à environ 6 km au nord-ouest du sommet du nouveau volcan par différentiel bathymétrique. Cette zone a été échantillonnée *in situ* pour la première fois lors de la campagne MD228-MAYOBS15 (*Rinnert et al., 2020*), en octobre 2020, et les premières images de lave incandescente sur une coulée active au nord-ouest du sommet du volcan ont été prises avec le SCAMPI (caméra tractée près du fond). La signature éruptive et magmatique des signaux géochimiques au niveau des nouvelles coulées de l'édifice volcanique se manifeste par des concentrations élevées en méthane (CH<sub>4</sub>) dissous, dioxyde de carbone (CO<sub>2</sub>), dihydrogène (H<sub>2</sub>), et des anomalies marquées en turbidité et Manganèse Total Dissolvable (TdMn). Lors des campagnes de surveillance MAYOBS18 (du 09 au 13 avril 2021 ; *Rinnert et al., 2021a*) et MAYOBS19 (du 27 mai au 01 juin 2021 ; *Rinnert et al., 2021b*), aucune évolution morphologique majeure n'a été mise en évidence dans la zone des coulées au nord-ouest du nouveau volcan. **Lors des cinq dernières campagnes sur site**, MAYOBS21 (13 septembre au 4 octobre 2021 ; *Rinnert et al., 2021c*), MAYOBS23 (9 au 22 juillet 2022 ; *Jorry et al., 2022*), MD242-MAYOBS25 (11 au 28 septembre 2023 ; *Thinon et Lebas, 2023*), MD246-MAYOBS30 (16 septembre au 10 octobre 2024 ; *Komorowski et Paquet, 2024*) et MD248-MAYOBS33 (25 septembre au 14 octobre 2025, *Komorowski et Thinon, 2025*), **à nouveau, aucune nouvelle coulée de lave n'a été mise en évidence via la détection de signaux acoustiques ou le différentiel bathymétrique issu des données de sondeur multifaisceaux coque.**

5. La structure volcanique du Fer à Cheval, située à l'aplomb de l'essaim sismique proximal (le plus proche de Petite-Terre, nommé précédemment essaim principal ; 5-15 km à l'Est de Petite-Terre), est une structure préexistante à l'éruption sous-marine de Fani Maoré, dont l'âge de la mise en place reste à déterminer. Cette structure fait partie de la chaîne volcanique sous-marine orientale de Mayotte qui est constituée d'un grand nombre d'édifices volcaniques, actuellement d'âge inconnu, qui se sont formés à la suite de nombreuses éruptions qui témoignent d'une activité volcanique passée intense et de styles éruptifs diversifiés. Cette chaîne s'étend d'ouest en est sur une distance d'environ 50 km, depuis les anciens volcans de Petite-Terre jusqu'au site du nouveau volcan actif. Des panaches acoustiques associés à des anomalies géochimiques ont été détectés dans la colonne d'eau au-dessus de cette structure du Fer à Cheval (FAC). La hauteur des panaches acoustiques peut atteindre > 1200 m et ils sont visibles jusqu'à 150 m, voire 125 m, de la surface de la mer. La chronologie de l'observation par acoustique des sites actifs d'émission de fluides sur la zone du Fer à Cheval suit le schéma suivant : sites A0 et B0 depuis mai 2019, site C0 depuis août 2019, sites D0 et E0 depuis mai 2020, sites C1 et F0 actifs depuis octobre 2020 en simultané à une expansion vers le nord-ouest des sites A0 et B0 (observation des nouveaux sites B1, A1 et A2), sites G0, D1, C2+C3 et C4 entre janvier et mai 2021, site H0 observé le 10 juillet 2021. Le site actif I0 a été observé le 20 septembre 2021 lors de la couverture acoustique de surveillance du Fer à Cheval pendant la campagne MAYOBS21 (*Rinnert et al., 2021c*) ainsi que les sites D2 et C5 en analyse à terre post-campagne. Le site J0, situé au sud à l'extérieur du Fer à Cheval a été identifié au cours de la campagne MD239-MAYOBS23 (*Jorry et al., 2022*) le 10 juillet 2022. L'analyse détaillée post-campagne des données acoustiques colonne d'eau acquises pendant MAYOBS23 révèle l'observation de deux nouveaux sites en plus du site J0 : I1 à environ 240 m au sud-ouest du site I0 et D3 sur le flanc intérieur est. Enfin un nouveau site actif d'émission nommé K0 a été observé, à proximité du site H, dans le prolongement du flanc ouest du Fer à Cheval lors de la campagne en mer MD242-MAYOBS25 (*Thinon et Lebas, 2023*) pour un total de 23 sites identifiés. **L'analyse préliminaire des données acquises lors de la campagne MD248-MAYOBS33 ne montre aucun signal significatif pouvant être associé à la présence d'émission de fluides en fond de mer en dehors de la zone du Fer à Cheval et son périmètre élargi. Cette dernière campagne en mer a permis également d'identifier sans ambiguïté la continuité**

de l'activité d'émission de fluides des 17 des 23 sites déjà observés pendant les campagnes antérieures à savoir : A0, A1, A2, B0, B1, C0, C1, C2+C3, C5, D0, D1, E0 (+un 2<sup>ème</sup> site, E1, situé à 200m du site connu E0), G0, H0, I0, J0. Aucun changement n'a été identifié sur les groupes A et B, stables qui sont toujours très bien identifiables. Le panache B0 reste le plus intense et son sommet a été mesuré entre 150 m et 125 m sous la surface, au lieu de 400 m mesuré lors de la campagne précédente. Les panaches n'avaient jamais été observés aussi proche de la surface avec une telle hauteur dans la colonne d'eau (influence probable des marées VE/ME qui peuvent limiter la hauteur d'eau maximale atteinte). Les panaches C0, C1, C2, C3 (voire C4) se confondent en un seul grand site et continuent de s'étendre horizontalement sur le plancher océanique. Les sites D0 et D1 sont spatialement difficile à distinguer (liée peut être à une racine délocalisée). Le panache sur le site E0 prend de l'ampleur, il est désormais constitué de 2 branches distinctes de 200 m, ce qui pose la question d'une discrimination nominale en deux sites différents (E0 et E1) dans la même zone. Le panache I1, de faible intensité, n'a pas été détecté par le sondeur malgré les passages à proximité.

Les panaches acoustiques et géochimiques restent donc fortement actifs dans la zone du Fer à Cheval. Les signatures géochimiques sont également très marquées mais suggèrent des sources ou des processus différents de ceux de la zone du nouveau volcan. **Les fluides émis en fond de mer et collectés lors des campagnes de surveillance MAYOBS et de la campagne de recherche GEOFLAMME sont composés majoritairement de dioxyde de carbone CO<sub>2</sub> (99,0 ± 0,3 %<sub>vol</sub>), avec une faible contribution de méthane CH<sub>4</sub> (0,8 ± 0,2 %<sub>vol</sub>) et de dihydrogène H<sub>2</sub> (10 à 1000 ppm<sub>vol</sub>) (Mastin et al., 2023, Cathalot et al., in review, Heumann et al., in review).** La signature isotopique du carbone stable (<sup>13</sup>C) montre que le CO<sub>2</sub> est d'origine mantellique et suggère que le CH<sub>4</sub> est quant à lui d'origine abiotique, bien qu'une contribution mixte biogénique/thermogénique (i.e. issue d'une transformation de matière organique) ne puisse être complètement exclue. L'hélium et sa signature isotopique (<sup>3</sup>He/<sup>4</sup>He) mesurés sur les panaches indiquent une source mantellique, confirmant l'origine magmatique profonde des fluides, obtenue avec les isotopes stables du carbone. Les signatures élémentaires et isotopiques des différents gaz constituant les fluides émis au niveau du Fer à Cheval sont similaires aux gaz émis à terre au niveau de Petite-Terre. La poursuite des analyses des panaches en mer permettra d'observer l'évolution spatiale et temporelle du processus en cours.

Les mesures des propriétés physico-chimiques de la colonne d'eau entre 0 et 1250 m de profondeur sont suivies depuis le 17 septembre 2021 par un planeur autonome sous-marin également appelé glider.

Entre le 1<sup>er</sup> mars 2026 et le 31 mars 2026, le SeaExplorer a été déployé sur l'intégralité de la zone du Fer à Cheval. Il a effectué 90 multi-yos représentant plus de 435 km parcourus et près de 425 heures d'acquisition de données dans la tranche d'eau de 800 à 1250 m d'immersion. Au cours des missions opérées au mois de mars, les sites d'émissions de fluides connus ont été visités avec un effort d'échantillonnage satisfaisant. Pour la période entre le 24/02/2026 et le 13/03/2026, le nombre et la répartition spatiale d'évènements BI, ainsi que l'intensité et la distribution spatiale des anomalies de concentrations en CO<sub>2</sub> sont cohérents avec la série temporelle et la localisation des sites actifs connus. Au cours du mois d'août 2025, plusieurs évènements BI associés à des anomalies en gaz dissous ont été détectés en profondeur de la colonne d'eau dans la zone géographique entre les sites D, E et F. Les archives de données depuis octobre 2023 ainsi que les données acquises depuis octobre 2025 montrent des signaux similaires avec une occurrence faible. Une attention particulière a été portée sur cette zone dans l'objectif de définir la nature des signaux observés à l'occasion de la campagne MAYOBS 33 (du 25/09/2025 au 14/10/2025). Les résultats de l'échantillonnage et du profil physico-chimique réalisé par l'opération de CTD-Rosette ne permettent pas de valider l'apparition d'un nouveau site d'émission de fluide. Néanmoins, la détection régulière mais modérée de signaux BI et d'anomalies de gaz par le planeur sous-marin ainsi que les évènements ponctuels et plus fréquents du mois d'août 2025 permettent de proposer l'hypothèse d'émissions de fluides intermittentes et/ou diffuses dans ce secteur géographique.

A l'heure actuelle, l'intégralité des données physico-chimiques acquises par le planeur n'apporte pas d'indice probant de la présence de nouveaux sites majeurs d'émission de fluides en dehors de ceux déjà connus de la zone du Fer à Cheval, dans les limites des résolutions et des possibilités du planeur.

Cela n'exclut pas la présence possible de panaches nouvellement apparus depuis la précédente campagne océanographique et qui seraient hors d'atteinte des capacités du planeur (concentrations faibles et inférieures aux limites de détection des capteurs, panaches remontant peu dans la colonne d'eau, panaches confondus avec ceux déjà existants).

6. En l'état actuel des connaissances, l'éruption a produit un volume estimé d'environ 6,55 km<sup>3</sup> de lave depuis le début de son édification (sans correction de la vésicularité très variable des laves émises). Selon les différents modèles et interprétations proposées à ce jour, l'éruption aurait pu débuter le 18 juin 2018 (modèle de *Cesca et al., 2020*), voire le 3 juillet 2018 (modèle de *Lemoine et al., 2020*). Sur une période de 10 mois (de juillet 2018 - début des déformations de surface enregistrées à Mayotte – au 18 mai 2019), le flux éruptif minimum moyen de lave a été d'environ 172-181 m<sup>3</sup>/s sur une durée maximale de 320 à 336 jours. Depuis la découverte de l'édifice volcanique, quatre nouveaux points de sortie distants ont été identifiés et ont produit : 1) au sud environ 0,2 km<sup>3</sup> de lave en 30 jours (19 mai-17 juin 2019) pour un flux minimum moyen de l'ordre de 77m<sup>3</sup>/s ; 2) à l'ouest environ 0,3 km<sup>3</sup> de lave en 43 jours (entre le 18 juin et le 30 juillet 2019) pour un flux minimum moyen de 81 m<sup>3</sup>/s ; 3) au nord-ouest environ 0,08 km<sup>3</sup> de lave en 21 jours (entre le 31 juillet et le 20 août 2019) pour un flux minimum moyen de l'ordre de 44 m<sup>3</sup>/s ; 4) au nord-ouest environ 0,8 km<sup>3</sup> de lave en 265 jours (entre le 21 août 2019 et le 11 mai 2020) pour un flux minimum moyen de l'ordre de 35 m<sup>3</sup>/s ; 5) au nord-ouest entre 0,1 à 0,2 km<sup>3</sup> de lave en 153 jours (entre le 11 mai et le 11 octobre 2020) pour un flux minimum moyen de l'ordre de 11 m<sup>3</sup>/s. **Depuis début 2021, l'éruption est probablement arrêtée mais aucune hypothèse n'est pour l'instant écartée quant à l'évolution de la situation à venir (arrêt définitif, reprise de l'activité éruptive sur le même site, reprise de l'activité éruptive sur un autre site), compte tenu de l'activité sismique persistante et d'émissions de fluides localisées sur le Fer à Cheval.** Les volumes et flux éruptifs, notamment au début de la crise, ont été exceptionnels et ont été, malgré les incertitudes, parmi les plus élevés observés sur un volcan effusif depuis l'éruption du Laki (Islande) en 1783.

7. Des dégagements terrestres gazeux importants d'origine hydrothermale (majoritairement CO<sub>2</sub>) et de faible température sont connus depuis de nombreuses années (au moins depuis 1998) sur l'estran de la plage de l'aéroport (sud Petite-Terre) et au sein du Lac Dziani. Depuis novembre 2020, une station de suivi en continu des émissions de CO<sub>2</sub> par le sol a été installée par l'OVPF/IPGP à proximité de la plage de l'aéroport. **Depuis l'installation de la station, une diminution progressive et ensuite une stabilisation des émissions de CO<sub>2</sub> par le sol (et de leur composition isotopique) est mesurée.** La composition chimique des gaz hydrothermaux riches en CO<sub>2</sub> (bullages) collectés dans le point de contrôle avec la série temporelle la plus longue (C1 - estran de l'aéroport) indique une tendance à la diminution progressive de l'apport des fluides profonds mantelliques depuis avril 2019. Cette diminution s'accompagne d'une baisse continue des températures d'équilibre des fluides au sein du système hydrothermal (environ 50°C). **La chimie du Dziani Dzaha montre une diminution régulière du pH entre novembre 2020 et décembre 2022 puis une stabilisation jusqu'à la dernière mission de juin 2024. Le  $\delta^{13}\text{C}_{\text{DIC}}$  montre une chute brutale entre novembre 2020 et septembre 2021, puis une tendance discrète à la diminution jusqu'à la dernière mission de mai 2025.**

8. Les réseaux de surveillance (à terre : temps réel ; et en mer : relevés tous les 6 à 12 mois) ont été progressivement renforcés depuis début 2019 et notamment depuis fin 2024 pour le réseau de sismomètres.

9. Les scientifiques restent mobilisés pour analyser et interpréter la multitude de données acquises au cours des derniers mois à terre et en mer. Compte tenu de l'absence d'observation de volcanisme historique et du peu de connaissance sur le fonctionnement de la ride NO-SE, de plus de 50 km de long, qui s'étend de Mayotte à la zone volcanique sous-marine active, une incertitude significative existe quant à l'évolution de cette éruption (migration de magma, durée et évolution de l'éruption en cours, nouveaux points de sortie de lave) et de l'activité associée (sismicité, déformation, dégazage).

Suite à des carottages, des données ont été acquises proche des côtes de l'île de Mayotte lors de la campagne MAYOBS19 (du 27 mai au 01 juin 2021 ; *Rinnert et al., 2021b*). Leur analyse va fournir de nouvelles informations sur le volcanisme historique de Mayotte en reconstruisant la chronologie et la succession des événements volcaniques ayant eu lieu dans la région. Ces données permettront également de connaître la stabilité de la pente sédimentaire est de Mayotte.

10. Les résultats des analyses de l'ensemble des laves échantillonnées par dragues à roches lors des campagnes océanographiques MD220-MAYOBS1, MD221-MAYOBS2 et MD223-MAYOBS4, MAYOSB15, MD234-MAYOBS21, MD239-MAYOBS23 (*Rinnert et al., 2019*) sur le site de l'éruption de Fani Maoré et sur d'autres sites volcaniques de la ride NO-SE qui s'étend de Mayotte à la zone volcanique sous-marine active, indiquent leur appartenance à une série magmatique d'alcalinité faible à modérée, caractéristique du volcanisme du nord de Mayotte. Elles montrent une variété compositionnelle, depuis les basanites (MAYOBS4-DR09) jusqu'aux phonolites (MAYOBS1-DR02, MAYOBS2-DR07, MAYOBS15-DR13, MAYOBS15-DR16, MAYOBS15-DR17), déjà connue dans les échantillons subaériens de Petite-Terre. Les produits échantillonnés par dragages sur le site volcanique actif correspondent majoritairement à des laves basiques ( $45 < \text{SiO}_2 \text{ pds\%} < 47$ ), légèrement évoluées (basanites,  $3,6 < \text{MgO pds\%} < 5,3$ ), avec des valeurs de porosité s'étalant de 14 à 50 % (*Berthod et al., 2021a, 2021b, 2022*). Leur composition chimique (analyses en roche totale) varie peu, qu'il s'agisse des formations initialement cartographiées en mai 2019 (MAYOBS1-DR01, MAYOBS4-DR10 et DR12), ou des coulées émises entre mai et juin 2019 (MAYOBS2-DR08), entre juin et juillet 2019 (MAYOBS4-DR11), ainsi qu'entre août 2019 et octobre 2020 (MAYOBS15-DR14, DR15, DR18). Les dragages effectués dans la zone du Fer à Cheval et de la Couronne révèlent une production magmatique ancienne de composition variée, à dominante phonolitique mais avec aussi une composante basanitique, et un style éruptif à dominante explosive ayant produit la construction des nombreux cônes volcaniques sous-marins.

**Les analyses en géochimie de roche totale des coulées de lave draguées à proximité du Fer à Cheval (DR36, DR37, DR38) lors de la campagne MD242-MAYOBS25 montrent des compositions de phonolites peu évoluées typiques de la majorité des phonolites échantillonnées dans la zone du Fer à Cheval. Les analyses en géochimie de roche totale des roches collectées lors des deux dernières campagnes MD246-MAYOBS30 et MD248-MAYOBS33 dans la zone du Fer à Cheval ou à proximité sont caractéristiques d'éruptions explosives mais aussi effusives ayant produit des compositions de phonolites évoluées ainsi que des phonolites classiques non évoluées, et au moins trois sites ayant produit des magmas basanitiques. Certains échantillons semblent avoir un âge récent mais d'autres sont plus anciens car recouverts d'une fine pellicule d'oxydes de manganèse. Les datations de ces roches sont en cours.**

11. La province volcanique sous-marine proche de l'île de Mayotte représente un enjeu majeur dans la compréhension de l'aléa lié à la crise éruptive actuelle. L'analyse d'un échantillon de lave phonolitique très peu ou pas altérée et d'apparence très récente, qui provient de la drague MAYOBS2-DR07 prélevée dans la zone de l'essaim sismique proximal actif, à environ 15 km au sud-est de Petite-Terre (voir pour plus de détails le bulletin REVOSIMA N° 4) révèle les rapports de (dés)équilibres radioactifs suivants : équilibre  $^{210}\text{Po}$ - $^{210}\text{Pb}$  avec un rapport (Po/Pb) de  $0,99 \pm 0,03$ , indifférenciable de 1 et un équilibre  $^{210}\text{Pb}$  et  $^{226}\text{Ra}$  avec là aussi, un rapport (Pb/Ra) de  $0,99 \pm 0,03$ , indifférenciable de la valeur d'équilibre, selon les dernières analyses (octobre 2020). Si (au conditionnel) ces trois isotopes  $^{210}\text{Po}$ ,  $^{210}\text{Pb}$ ,  $^{226}\text{Ra}$  ont été fractionnés au cours de l'évolution superficielle du magma (cristallisation et dégazage), alors ce fractionnement est plus vieux que 2,3 ans (d'après la période de 138 jours de  $^{210}\text{Po}$ ) et même plus vieux que 132 ans (d'après la période de 22 ans de  $^{210}\text{Pb}$ ). Des datations par la mesure du  $^{230}\text{Th}$  sont donc nécessaires afin de tester s'il existe un déséquilibre  $^{226}\text{Ra}$ - $^{230}\text{Th}$ , ce qui permettrait - en cas de déséquilibre - de confirmer qu'il s'agit bien d'un magma récent de moins de quelques milliers d'années. Pour l'instant, l'âge de cette coulée reste inconnu. Une nouvelle datation sera aussi effectuée sur une ancienne coulée similaire et juxtaposant la coulée MAYOBS2-DR07 et qui a été échantillonnée lors de la campagne MD228-MAYOBS15 (DR13). Des datations sont en cours sur les produits explosifs anciens de la zone du Fer à Cheval échantillonnés dans les dragues MAYOBS15-DR16 et MAYOBS15-DR17, et celles des campagnes MAYOBS21 et MAYOBS23. Malgré les nombreuses questions scientifiques en suspens et des incertitudes intrinsèques à la compréhension des systèmes géologiques complexes, ces nouvelles données viendront combler petit à petit les lacunes de connaissance sur la nature, l'ampleur, la dynamique et la chronologie de l'activité de la province volcanique de Mayotte dont une très large partie a été mise en place en milieu sous-marin difficilement accessible.

12. L'analyse de toutes les données acquises depuis le début de l'activité sismo-volcanique en mai 2018 et en cours d'acquisition nécessite des travaux approfondis pour améliorer l'évaluation des aléas et des risques induits (sismique, volcanique, tsunami) pour Mayotte. Le programme d'étude est actualisé et renforcé au vu des nouveaux éléments de connaissances apportés par ces analyses.

## Sismicité Régionale

Mayotte et l'archipel volcanique des Comores se situent dans une zone de sismicité modérée dans une région entre l'Est de l'Afrique et Madagascar marquée par la présence de différentes plaques tectoniques, dont les plaques Somalie et Lwandle. La caractérisation de la frontière entre ces deux plaques est encore l'objet de travaux, mais il a été proposé que l'archipel des Comores, où le volcanisme récent et la sismicité sont distribués (Bertil et al., 2021 ; Thion et al., 2022), délimite une frontière de plaque immature entre les plaques Somalie et Lwandle (Famin et al., 2020). L'activité sismique de l'archipel reste encore peu connue car faiblement détectée par les réseaux sismiques existants. Des séismes régionaux peuvent être fortement ressentis à Mayotte (séismes de 2011, 2020 de magnitude 5.0) ou provoquer des dommages légers au bâti (séisme de 1993 et séisme historique de 1936 avec des intensités VI).

Le suivi mis en place par le REVOSIMA pour surveiller la zone d'essaims sismiques liés à l'activité sismo-volcanique autour de Fani Maoré, permet également de détecter des séismes hors de cette zone d'activité, qu'ils soient locaux ou régionaux (jusqu'à des magnitudes 2.5 pour les séismes les plus proches) et donc d'améliorer la connaissance de l'activité sismique autour de Mayotte.

**Au cours du mois de mars 2026, 21 séismes régionaux ont pu être localisés dans l'emprise de la Figure 1. Six séismes de magnitude supérieure à  $MI=3$  ont été répertoriés pendant cette période dont quatre sur la Ride de Davie, un au niveau de la côte nord de l'île de Grande Comore et un au nord-ouest du Banc Vailheu.**

**En tout, 8 séismes sont localisés à moins de 150 km de Mamoudzou. Le plus fort a eu lieu le 8 mars avec une magnitude  $MI= 2.6$  à proximité des rides des Jumelles à 82 km de Mamoudzou. Le plus proche, de magnitude  $MI=2.0$  entre Mayotte et Anjouan, à 70 km de Mamoudzou.**

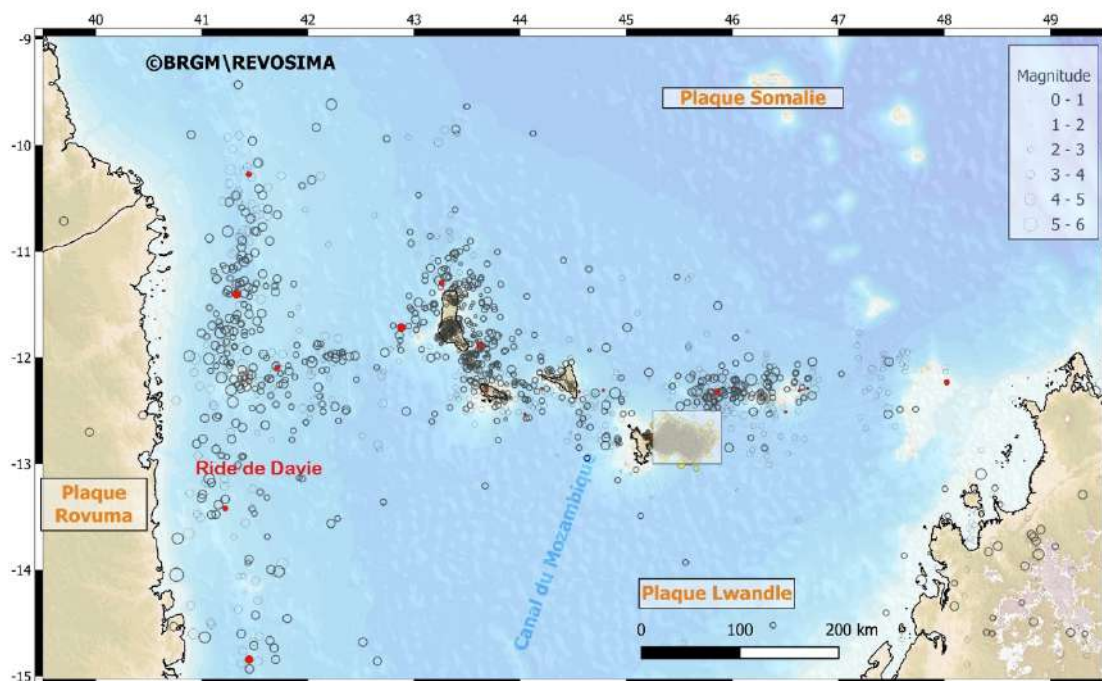


Figure 1: Sismicité régionale enregistrée depuis 2018 (modifié d'après Bertil et al., 2021). Les séismes de mars 2026 sont représentés en rouge. Le fond de carte est construit à partir des données topographiques et bathymétriques de Gebco 2022 ([www.gebco.net](http://www.gebco.net)). Le trait de côte et les frontières administratives sont extraits de <https://gadm.org/>. Le carré blanc encadre les essaims sismiques surveillés depuis 2018. Se référer aux Figures 2 et 3 de ce bulletin pour la distribution de cette sismicité.

## Sismicité locale

Depuis le 16 mai 2018, un point de situation sur l'activité sismique était publié par le BRGM (<https://www.brgm.fr/content/essaim-seismes-mayotte-points-situation>) dans le cadre du suivi de l'essaim sismique de Mayotte qu'il a assuré depuis cette date et jusqu'à la création du Réseau de surveillance Volcanologique et Sismologique de Mayotte (REVOSIMA). Le REVOSIMA a publié un bulletin bi-mensuel de l'activité entre août 2019 et février 2020. Dans le cadre du renforcement du suivi de l'activité sismo-volcanique et afin de proposer une information plus fréquente, le REVOSIMA publie depuis le 17 mars 2020, un bulletin automatique préliminaire de l'activité enregistrée la veille, sur un format court, issu de l'examen d'une analyste du REVOSIMA : [https://www.ipgp.fr/volcanoweb/mayotte/Bulletin\\_quotidien/bulletin.html](https://www.ipgp.fr/volcanoweb/mayotte/Bulletin_quotidien/bulletin.html). Ce bulletin quotidien est complété par un bulletin détaillé qui passe désormais à une fréquence mensuelle à partir de mars 2020.

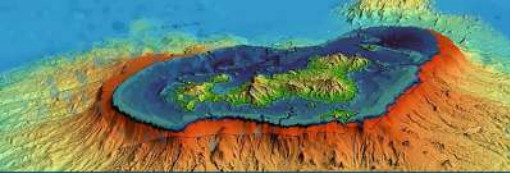
L'analyse de la sismicité se base sur les données issues d'un réseau de stations à terre réparties dans la région de Mayotte dont les données sont analysées tous les jours et d'un parc de capteurs en mer (OBS : Ocean Bottom Seismometer) qui sont relevés après plusieurs semaines d'installation et dont les données sont accessibles en différé. Les données des stations à terre et des OBS sont fournies par l'ensemble des partenaires impliqués dans le suivi de la crise. Pour plus de précisions sur l'analyse de la sismicité, voir le bulletin n° 1 (<https://www.ipgp.fr/fr/revosima/actualites-reseau>)

Avec le recrutement de nouveaux personnels en 2020 dans le cadre de la pérennisation du REVOSIMA, des ressources humaines supplémentaires sont désormais dédiées au dépouillement sismique, ce qui a permis d'abaisser la magnitude minimale des séismes identifiés (magnitude de complétude). Il est désormais possible de mieux identifier les séismes de plus petites magnitudes < M1,5.

Jusqu'au 28 février 2021, le RENASS (Réseau national de surveillance sismologique) et le REVOSIMA utilisaient deux méthodes complémentaires et différentes pour détecter la sismicité observée à Mayotte. Le RENASS se basait sur des algorithmes de détection en temps réel, qui permettent une localisation automatique et rapide des événements, mais qui nécessitent que les données arrivent en temps réel et que la magnitude des événements soit suffisamment élevée pour avoir du signal sur toutes les stations de mesure. Les événements détectés automatiquement étaient ensuite validés par les analystes du RENASS. Le REVOSIMA complétait ces détections par un examen manuel minutieux quotidien de l'ensemble des données. Cela permettait de détecter des événements de plus petite magnitude seulement visibles sur les stations les plus proches des événements et qui ne sont pas détectés automatiquement, mais aussi de travailler sur des données arrivées en temps différé. En contrepartie, toute cette information n'était rapportée que le lendemain dans le bulletin quotidien, après l'examen complet des données de la veille. En cas de séisme ressenti par la population, les données étaient analysées dès que possible par le REVOSIMA. L'ensemble des détections du RENASS était comptabilisé dans les détections du REVOSIMA qui établit et maintient un catalogue le plus complet possible. Ce catalogue est affiné et complété par les résultats des analyses des données des OBS (sismomètres de fond de mer) qui sont relevés lors des campagnes MAYOBS (<https://campagnes.flotteoceanographique.fr/series/291/>; Rinnert et al., 2019; Saurel et al., 2022). Les localisations de la sismicité volcanique et tectonique enregistrées par le REVOSIMA en temps réel sont disponibles sur : <https://renass.unistra.fr/fr/zones/mayotte/> et sur le bulletin quotidien du REVOSIMA.

Depuis le 1<sup>er</sup> mars 2021, un nouvel algorithme de détection et de localisation en temps-réel de la sismicité est en place au REVOSIMA et remplace les algorithmes précédemment utilisés par le RENASS (Retailleau et al., 2022a ; 2022b). Les localisations affichées par le RENASS sont donc désormais uniquement issues du REVOSIMA. Ce nouvel algorithme permet une localisation automatique plus fiable avant leur validation par les analystes. Il est également plus sensible et permet donc de localiser une plus grande proportion de la sismicité comptabilisée par le REVOSIMA. Les cartes de localisation affichent donc dorénavant plus d'événements. Enfin, ce nouvel algorithme permet également la localisation d'une partie de la sismicité LP (basse fréquence), qui n'avait pas été localisée jusqu'alors. Tous les événements détectés automatiquement restent validés par les analystes du REVOSIMA.

Ce nouvel algorithme se base sur une méthode d'intelligence artificielle à base de réseau de neurones reconnaissant les deux principales ondes d'un séisme (onde P et onde S). De plus, cet algorithme est associé



à un nouveau modèle de vitesse élaboré à partir de la sismicité enregistrée par les stations à terre et les OBS depuis mars 2019 (*Lavayssière et al., 2022*). Ces améliorations sont le résultat des travaux effectués en 2020 par deux chercheuses en contrats post-doctoraux financés par le REVOSIMA.

**Entre le 1<sup>er</sup> et le 31 mars 2026, le Réseau de surveillance Volcanologique et Sismologique de Mayotte (REVOSIMA) a détecté, avec le réseau de stations terrestres, un total de 300 séismes Volcano-Tectoniques (VT ; séismes dont la gamme de fréquence est la plus large, de 2Hz à 40Hz), 139 séismes Longue Période (LP ; basse fréquence, entre 0,5 et 5 Hz) et 2 séismes Très Longue Période (VLP ; très basse fréquence, environ 15 secondes) localisés entre Mayotte et le volcan Fani Maoré à 50 km au sud-est de Mayotte (Figures 2, 3, 4, 5, 6 et 7, et Tableaux 1 et 2). À noter que l'installation d'une nouvelle station sur l'îlot de Mbouzi et un dépouillement plus fin de ses données à partir de mars 2023 a entraîné une augmentation du nombre de séismes détectés non liée à une augmentation de l'activité. De même, trois nouvelles stations ont été installées sur les îlots Handrema, Amiri et Mbouini en novembre 2024. Cela a aussi mené à une augmentation qui n'est pas liée à une évolution de l'activité mais à la détection d'événements de plus faible magnitude qui n'étaient pas identifiés auparavant. Ces installations permettent une meilleure détection et localisation des séismes.**

**Après une lente décroissance d'avril 2020 à début 2022, la sismicité s'est stabilisée avec des fluctuations dans la détection manuelle des séismes de faible magnitude dépendantes entre autres de la sensibilité propre à chaque opérateur et de la variabilité du bruit sur les stations, notamment pendant la journée. Les derniers séismes de plus forte magnitude (énergie), dont le dernier ressenti s'est produit le 20 juin 2025 (M 3.5), ont eu lieu majoritairement dans l'essaim distal ou entre les deux essaims (l'essaim distal est le plus éloigné de Petite-Terre et s'étend le long de l'alignement de cônes volcaniques jusqu'au site de Fani Maoré ; Figure 2).**

- **Sur le dernier mois, 139 séismes LP ont été enregistrés.** La majorité des séismes LP ont lieu lors d'essaims de quelques dizaines de minutes, parfois de manière répétée dans une journée ou sur quelques jours, et sont souvent associés à des signaux VLP (*Retailleau et al., 2022b, Laurent et al., 2025*). **Pour le mois de mars 2026, 2 VLP ont été enregistrés.** Les séismes LP et VLP sont des signaux sismiques habituellement associés dans la littérature à des résonances et des mouvements de fluides (magmatique ou hydrothermal). Les signaux LP sont localisés à une dizaine de kilomètres à l'est de Petite-Terre dans la zone de l'essaim sismique le plus actif entre 25 et 40 km de profondeur, au même endroit que ceux localisés depuis février 2020. Des travaux sont en cours pour mieux comprendre ces signaux. La profondeur des VLP enregistrés entre 2018 et 2020 a été estimée entre 25 et 40 km (*Feuillet et al., 2021, Laurent et al., 2025*). Cependant, ils restent difficiles à localiser et analyser et font l'objet d'une étude spécifique en cours (*post-doctorat d'A. Laurent, OVPF-IPGP*).
- **Au total, 139 séismes ont pu être localisés manuellement (113 VT et 26 LP ; Figures 2 et 3), dont 13 VT de magnitude M2 à M3 et 3 VT magnitude supérieure à M3 (Tableaux 1 et 2).** Ces séismes sont majoritairement localisés entre 0 et 30 km à l'est de Petite-Terre (Figures 2, 3 et 4). Ce nombre de séismes localisables est relativement stable depuis fin 2022.
- **Ramené à des valeurs moyennes quotidiennes on note, entre le 1<sup>er</sup> et le 31 mars 2026, une moyenne de 4 séismes localisables par jour.**

Période du : 1 <sup>er</sup> au 31 mars 2026	
Sismicité volcano-tectonique (VT) enregistrée par le réseau terrestre et validée et localisée, excluant les détections automatiques non validées	
(entre parenthèse les chiffres pour la période du 1 au 28 février 2026 détectés selon le même protocole)	
Classe de magnitude	Nombre de Séismes
M < 1	30 (0)
M1 à M2	67 (85)
M2 à M3	13 (17)
M3 à M4	3 (4)
M4 à M5	0 (0)
M5 à M6	0 (0)
M1-M6	83 (106)
M>= 2	16 (21)

Tableau 1 : Répartition des séismes volcano-tectoniques (VT) et tectoniques (hors essais) enregistrés, validés et localisés par le réseau terrestre par classe de magnitude du 1<sup>er</sup> au 31 janvier 2026.

Total séismes >=3.5	Dont M >= 4.0	Dont M >= 4.5	Dont M >= 5.0	Dont M >= 5.5
2073	570	154	36	2

Tableau 2 : Comptage des séismes volcano-tectoniques (VT) et tectoniques (hors essais) localisés de magnitude M>3,5 du 10 mai 2018 au 31 mars 2026 par classe de magnitude (base de données BRGM et REVOSIMA).

- De manière générale, malgré une contrainte sur les profondeurs et localisations qui sont moins bonnes à partir des seules données à terre, **les hypocentres des séismes volcano-tectoniques se situent entre 20 et 50 km de profondeur**. Cela est confirmé après les relevés réguliers des OBS.
- Si l'activité sismique est plus faible que celle enregistrée au début de la crise, elle reste néanmoins importante**. A noter que pour de nombreuses éruptions une diminution de l'énergie sismique dissipée est observée malgré la poursuite de la propagation du magma à faible profondeur et son émission en surface. Ceci témoigne d'un milieu déjà fragilisé et fracturé moins sismogène. L'activité sismique fluctue pendant une éruption et une recrudescence de l'activité sismique est toujours possible. Ainsi des magnitudes proches de 5, voire plus, sont toujours possibles comme le montre le dernier en date, celui du 10 novembre 2020 (M 5.3).
- A noter que plusieurs séismes « proches » de très faible à faible magnitude (M1-M2,5) sont toujours enregistrés entre l'essai sismique proximal et Petite-Terre, voire même sous Petite-Terre. Le traitement des données OBS qui sont relevés lors des campagnes OBS (<https://campagnes.flotteoceanographique.fr/series/291/>; Rinnert et al., 2019) montre que ces séismes de faible magnitude sont présents depuis le début des enregistrements OBS.

### Localisation

Il n'y a pas eu d'évolution spatiale notable de la localisation de la sismicité entre le 1<sup>er</sup> et le 31 mars 2026 par rapport au bulletin précédent (voir **Figures 2 et 3**).

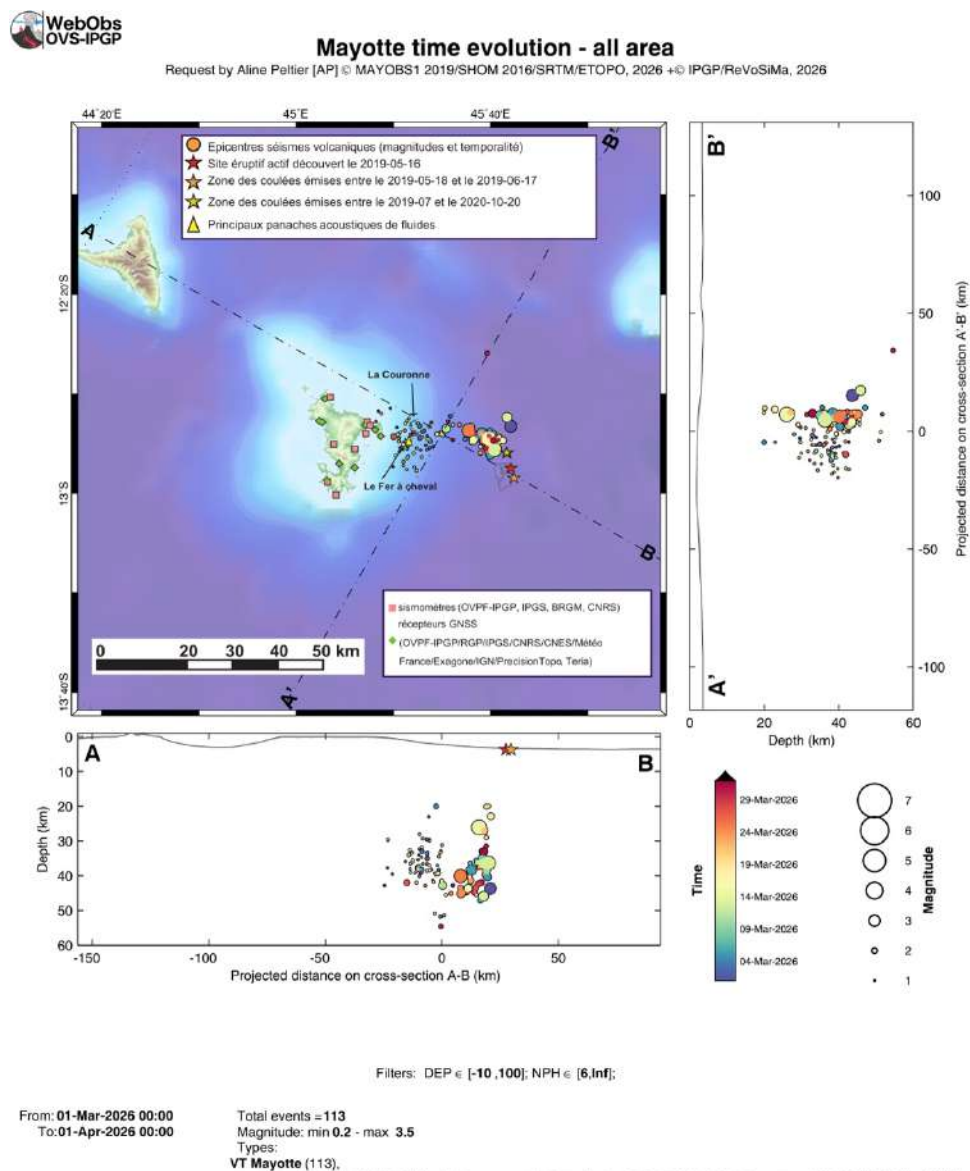
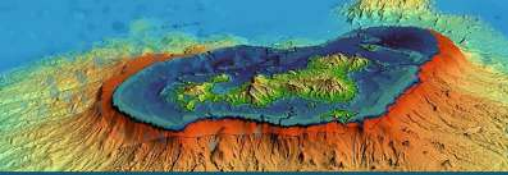
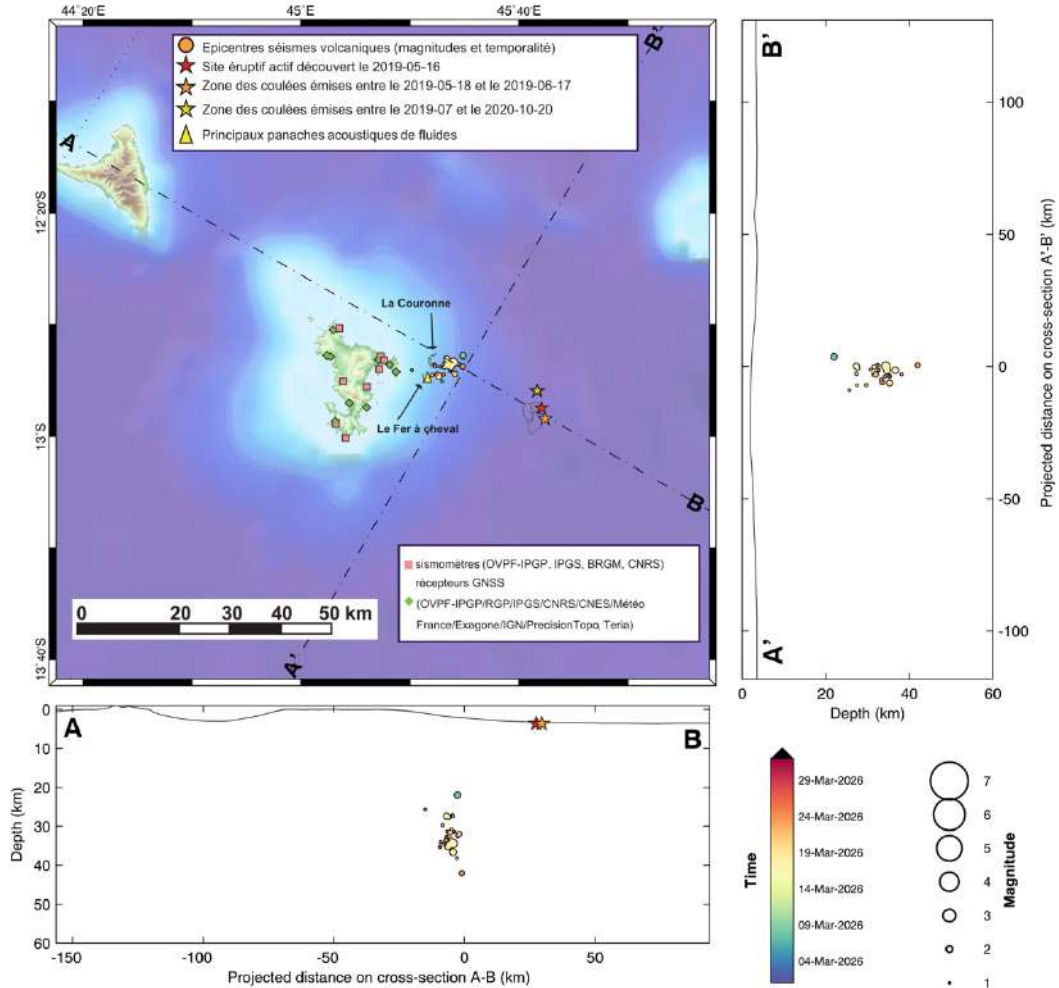


Figure 2 : Carte des épencentres ( $\pm 5$  km) des séismes volcano-tectoniques (VT) localisés avec les réseaux sismiques à terre (IPGP-CNRS-BRGM-BCSF-RENAISS-ITES) en mars 2026 (échelle temporelle de couleur). Sont aussi représentées les projections des hypocentres des séismes le long de coupes transverses et axiales le long de la ride montrant la localisation estimée en profondeur (la précision varie entre  $\pm 5$  km et  $\pm 15$  km) des séismes en fonction de la magnitude (taille des symboles) et de la date (échelle temporelle de couleur). La localisation approximative des panaches acoustiques identifiés pendant les campagnes océanographiques est indiquée par des triangles jaunes, l'étoile rouge indique le site éruptif identifié le 16 mai 2019, l'étoile orange la zone des coulées émises entre le 18/05/2019 et le 17/06/2019 et l'étoile jaune la zone des coulées émises entre juillet 2019 et le 04/12/2020. Les structures volcaniques de la zone dites de « La Couronne » et du « Fer à Cheval » sont indiquées en grisé tout comme les coulées de lave de Fani Maoré. Les stations sismiques du réseau terrestre et les stations de positionnement par satellite GNSS sont indiquées par des symboles (voir légende) (©OVPF-IPGP, BRGM, IFREMER, CNRS, BCSF-RENAISS, ITES / REVOSIMA).



### Mayotte time evolution - all area

Request by Aline Peltier [AP] © MAYOBS1 2019/SHOM 2016/SRTM/ETOPO, 2026 +© IPGP/ReVoSiMa, 2026



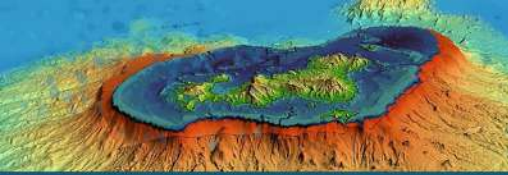
Filters: DEP ∈ [-10, 100]; NPH ∈ [6, Inf];

From: 01-Mar-2026 00:00  
To: 01-Apr-2026 00:00

Total events =26  
Magnitude: min 1.0 - max 2.2  
Types:  
LP Mayotte (26).

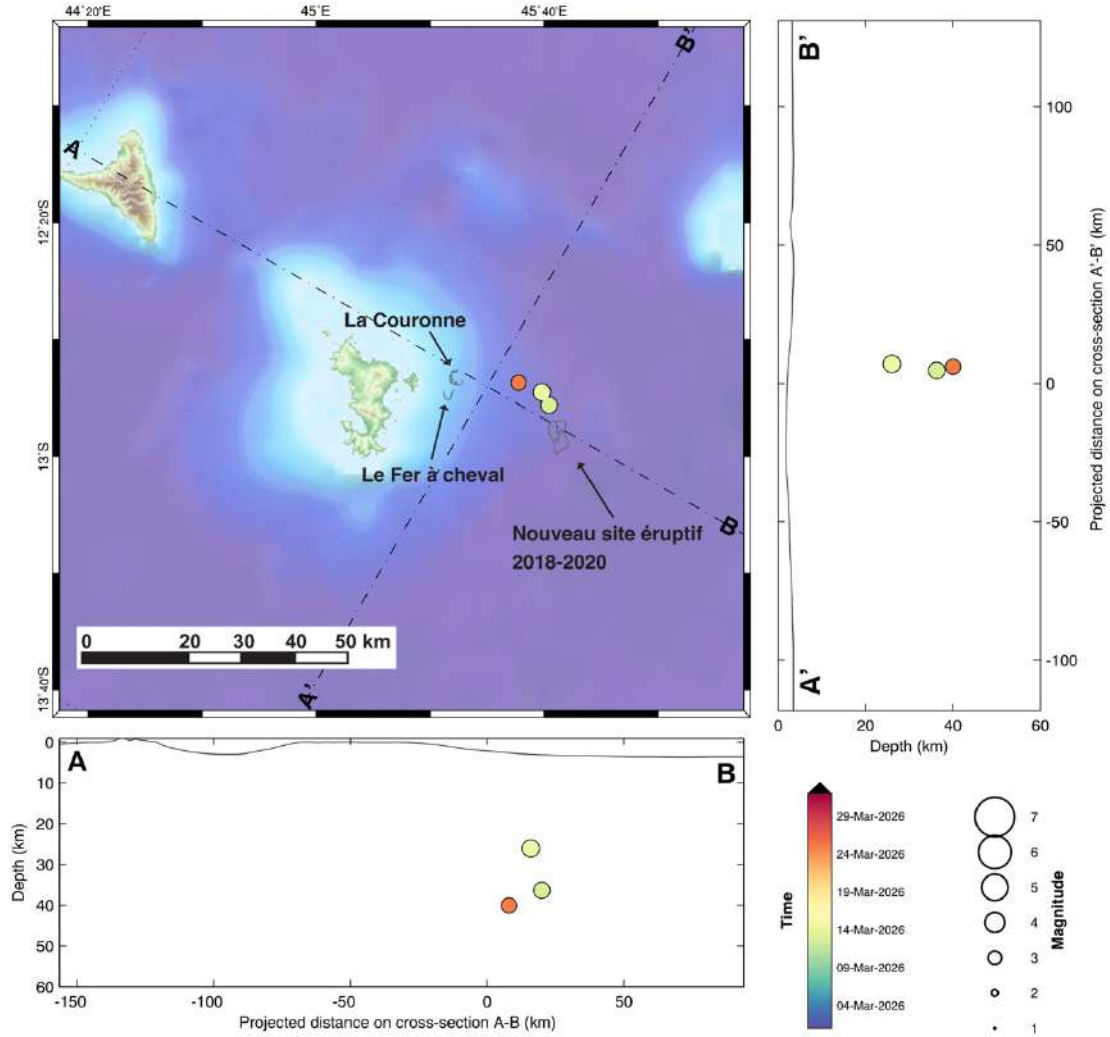
PROC.HYPOMAYOTTE / MayotteTime - sysop@pilotdescalumets - 03-Apr-2026 08:51:27 +0 - hypomap.m (2025-05-06) / WebObs MMXXVI

Figure 3 : Carte des épicentres ( $\pm 5$  km) des séismes Longue Période (LP) localisés avec les réseaux sismiques à terre (IPGP-CNRS-BRGM-BCSF-RENAISS-ITES) en mars 2026 (échelle temporelle de couleur). Sont aussi représentées les projections des hypocentres des séismes le long de coupes transverses et axiales le long de la ride montrant la localisation estimée en profondeur (la précision varie entre  $\pm 5$  km et  $\pm 15$  km) des séismes en fonction de la magnitude (taille des symboles) et de la date (échelle temporelle de couleur). La localisation approximative des panaches acoustiques identifiés pendant les campagnes océanographiques est indiquée par des triangles jaunes, l'étoile rouge indique le site éruptif identifié le 16 mai 2019, l'étoile orange la zone des coulées émises entre le 18/05/2019 et le 17/06/2019 et l'étoile jaune la zone des coulées émises entre juillet 2019 et le 04/12/2020. Les structures volcaniques de la zone dites de « La Couronne » et du « Fer à Cheval » sont indiquées en grisé tout comme les coulées de lave de Fani Maoré. Les stations sismiques du réseau terrestre et les stations de positionnement par satellite GNSS sont indiquées par des symboles (voir légende) (©OVPF-IPGP, BRGM, IFREMER, CNRS, BCSF-RENAISS, ITES / REVOSIMA).



## Mayotte time evolution - all area

Request by Aline Peltier [AP] © MAYOBS1 2019/SHOM 2016/SRTM/ETOPO, 2026 +© IPGP/ReVoSiMa, 2026



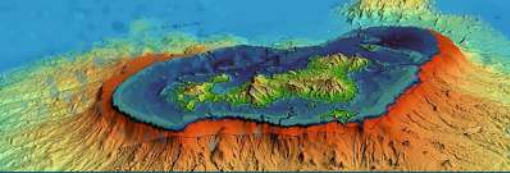
Filters: MAG ∈ [3,6]; DEP ∈ [-10,100]; NPH ∈ [6,Inf];

From: 01-Mar-2026 00:00  
To: 01-Apr-2026 00:00

Total events = 3  
Magnitude: min 3.2 - max 3.5  
Types:  
VT Mayotte (3),

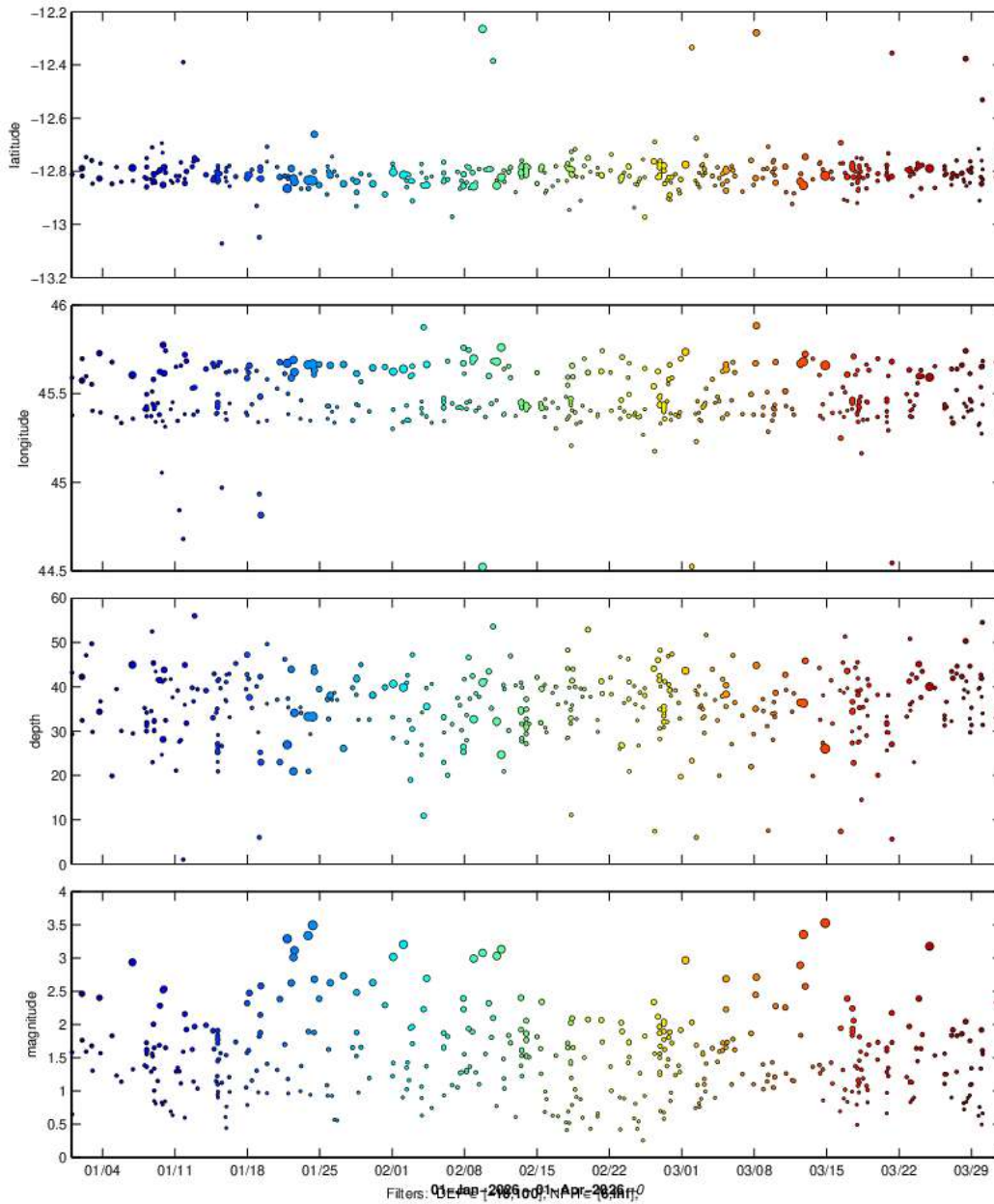
PROC.HYPDMAYOTTE / MayotteTime\_ - sysop@pilotdescalumets - 03-Avr-2026 08:51:29 +0 - hypomap.m (2025-05-06) / WebObs MMXXVI

Figure 4 : Carte de localisation des épicentres ( $\pm 5$  km) des séismes de magnitude  $M \geq 3$  en mars 2026 enregistrés avec les réseaux sismiques à terre (IPGP-IFREMER-CNRS-BRGM-BCSF-RENAISS-ITES). Sont aussi représentées les projections des hypocentres des séismes le long de coupes transverses et axiales le long de la ride montrant la localisation estimée en profondeur (la précision varie entre  $\pm 5$  km et  $\pm 15$  km) des séismes en fonction de la magnitude (taille des symboles) et de la date (échelle temporelle de couleur). La localisation approximative des panaches acoustiques identifiés pendant les campagnes océanographiques est indiquée par des triangles jaunes, l'étoile rouge indique le site éruptif identifié le 16 mai 2019, l'étoile orange la zone des coulées émises entre le 18/05/2019 et le 17/06/2019 et l'étoile jaune la zone des coulées émises entre juillet 2019 et le 04/12/2020. Les structures volcaniques de la zone dites de « La Couronne » et du « Fer à Cheval » sont indiquées en grisé tout comme les coulées de lave de Fani Maoré (©OVPF-IPGP, BRGM, IFREMER, CNRS, BCSF-RENAISS, ITES / REVOSIMA).



### Mayotte time evolution – all area

Request by Aline Peltier [AP] © MAYOBS1 2019/SHOM 2016/SRTM/ETOPO, 2026 +© IPGP/ReVoSiMa, 2026



From: 01-Jan-2026 00:00  
To: 01-Apr-2026 00:00

Total events = 426  
Magnitude: min 0.2 – max 3.5  
Types:  
(1),

Anthropique (6),  
Inconnu (1),  
LP Mayotte (86),  
Regional (12),  
VT Mayotte (320).

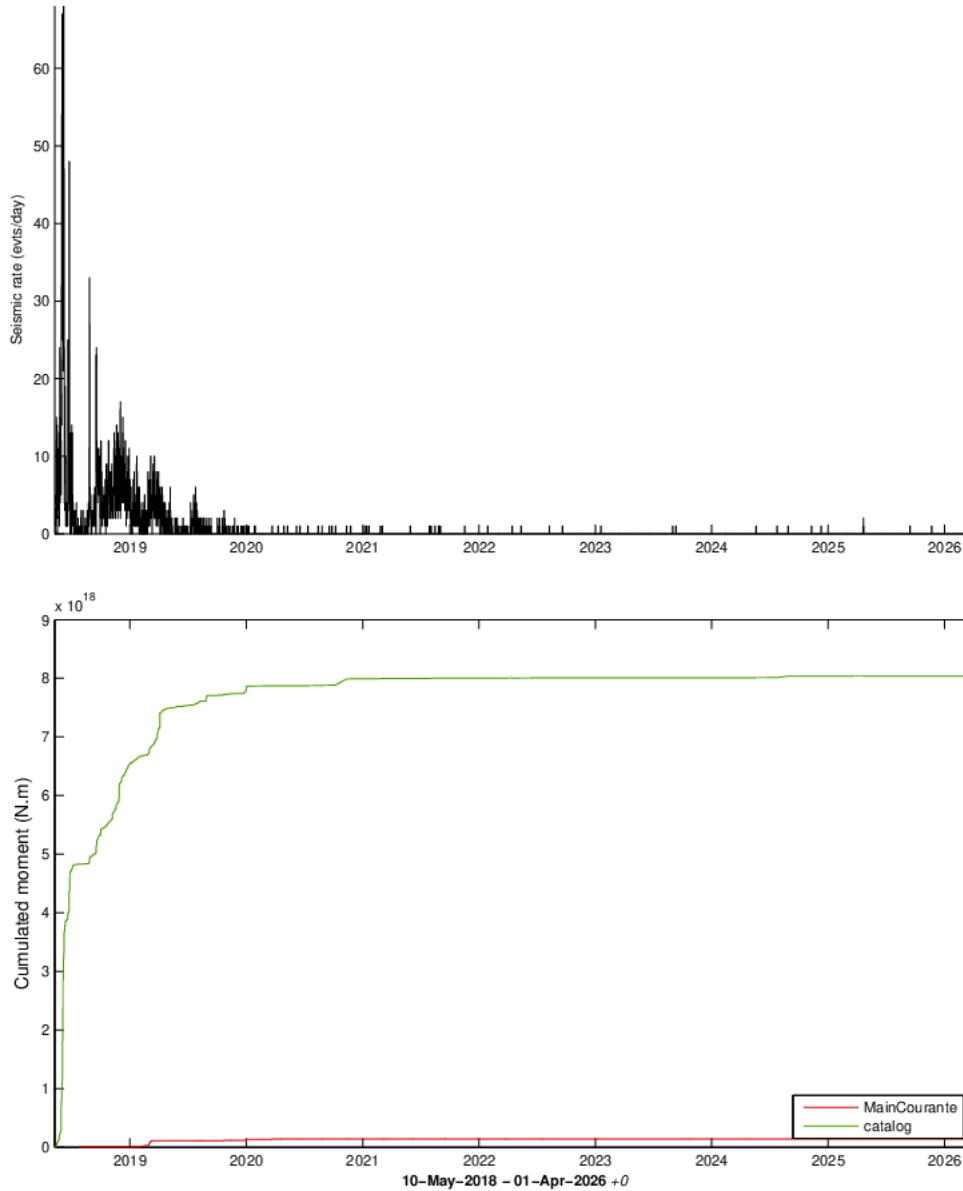
PROC:HYPOMAYOTTE / MayotteTime\_line\_ - sysop@pilotnondescalumets - 03-Apr-2026 07:31:51 +0 - hypomag.m (2026-05-06) / WebObs MMXXVI

Figure 5 : Variation temporelle (échelle de couleur) des principaux paramètres (latitude, longitude, profondeur et magnitude) de la sismicité enregistrée et localisée par le REVOSIMA avec les réseaux sismiques à terre (IPGP-CNRS-BRGM-BCSF-RENAISS-ITES) entre le 1<sup>er</sup> janvier 2026 et le 31 mars 2026 (3 mois) (© OVPF-IPGP, BRGM, IFREMER, CNRS, BCSF-RENAISS, ITES / REVOSIMA).



## Stats sismicité – M>3.5 REVOSIMA – Seismic rate and swarms

Request by Aline Peltier [AP] © IPGP, 2026 + © ReVoSiMa, 2026



Instantaneous seismic rate (144.0/day samples) calculated on a moving, 24h fixed-size, time window  
Last event: 02-Apr-2026 23:03:57 +0

PROCMCSTATSMAYOTTE\_BIGMAG / mc3mayotte\_ - sysop@pilonescalumets - 03-Apr-2026 06:59:49 +0 - mc3stats.m (2021-01-01) / WebObs MMXXVI

Figure 6 : En haut : Évolution temporelle du taux instantané de la sismicité volcano-tectonique (VT ;  $M > 3.5$ ) calculé sur une fenêtre de 24h glissante toutes les 10 minutes depuis le 10 mai 2018. En bas : Évolution temporelle du moment sismique cumulé, en N.m (représentant le cumul de l'énergie dissipée par l'ensemble des séismes) sur la même période. Sur la courbe verte, le moment sismique est calculé suivant la formule de Hanks et Kanamori (1978) à partir de la magnitude locale calculée pour les séismes localisés par le RENASS. Sur la courbe rouge, le moment sismique est calculé suivant la formule de Dorel et Feuillard (1980) à partir de la magnitude de durée estimée à partir des saisies des opérateurs de l'astreinte REVOSIMA (© OVPF-IPGP et REVOSIMA).

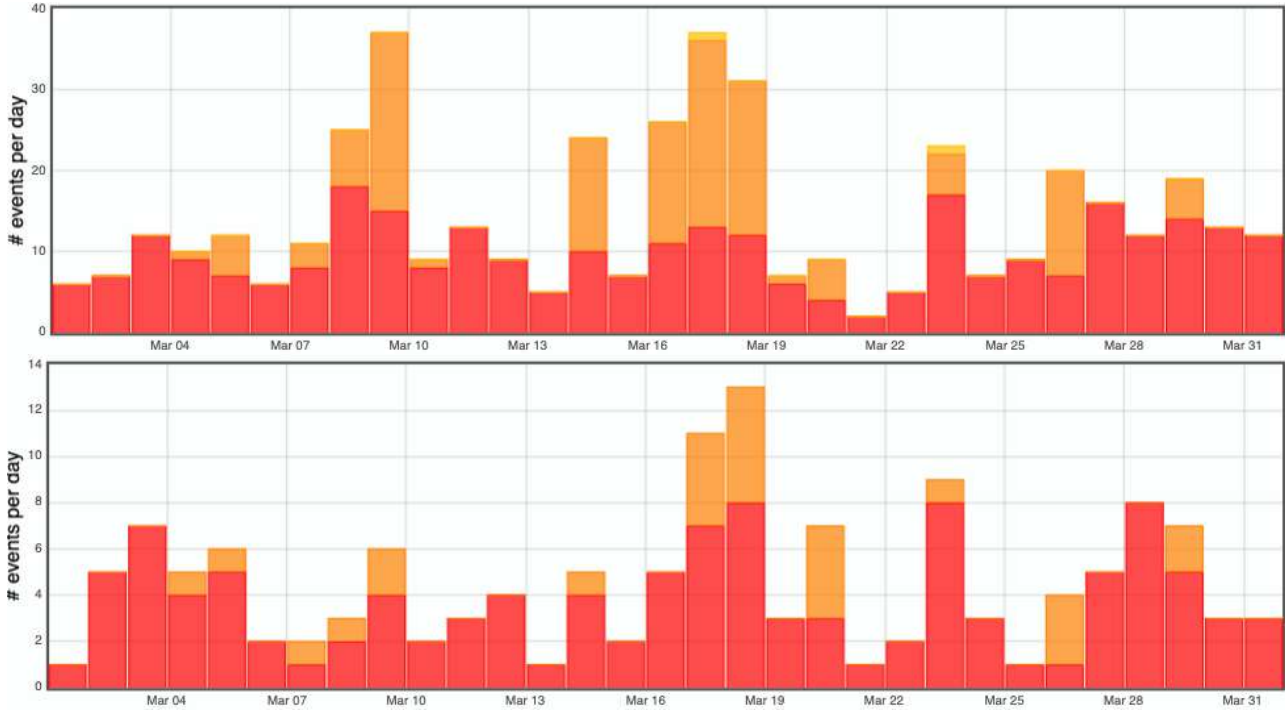


Figure 7 : Histogramme représentant le nombre de séismes par jour détectés (en haut) et localisés (en bas) en mars 2026 par le réseau sismologique du REVOSIMA. En rouge les séismes volcano-tectoniques, en orange les séismes longues périodes, en jaune les séismes très longues périodes, en bleu les éboulements (© OVPF-IPGP et REVOSIMA).

## Déformation

### A terre

Sont considérées dans ce bulletin :

- les données des stations GNSS du Centre National d'Etudes Spatiales (station MAYG), EXAGONE via le réseau TERIA (stations BDRL et GAMO) et de Precision Topo via le réseau Lel@ (stations KAWE – remplacée en 2025 par KAW2, PORO et MTSA) installées sur l'île de Mayotte, et distribuées par le RGP de l'Institut National de l'Information Géographique et Forestière (IGN),
- les stations installées à Mayotte et à Grande Glorieuse dans le cadre du réseau de surveillance financé par l'Etat.

Des calculs automatiques et journaliers ont été mis en place à l'OVPF-IPGP (via les logiciels GipsyX et Webobs ; *Beauducel et al., 2010 ; 2020*) afin de suivre ces déplacements et de modéliser une source de déformation en temps-réel (*Beauducel et al., 2014 ; 2020 ; Peltier et al., 2022*). Ainsi, une fois les données rapatriées (une fois par jour), celles-ci sont automatiquement traitées par le logiciel GipsyX/JPL (*Bertiger et al., 2020 ; Murphy et al., 2024*). Ces calculs intègrent les nouveaux produits du JPL dans l'ITRF2020 (*Altamimi et al., 2023, Rebischung et al., 2024*). Les coordonnées calculées sont exprimées par rapport au Centre de Figure (CF), un concept plus adapté à des chantiers sur des petites zones. Les caractéristiques d'une source unique (localisation, profondeur et variation de volume), ajustant au mieux les observations sur une période de temps considérée, sont modélisées par un point source de pression isotrope en profondeur, dans un milieu homogène et élastique. Ces modèles simples restent les plus adaptés actuellement, compte-tenu des limitations engendrées par la géométrie actuelle du réseau de mesures géodésiques (*bulletins mensuels REVOSIMA 2019 et 2020*). Mais le faible taux de déformation actuel ne permet plus de modéliser de manière suffisamment fiable une source de déflation associée à un débit.

Les mesures de déformation indiquent entre juillet 2018 et fin 2020 (*Lemoine et al., 2020 ; Feuillet et al., 2021 ; Peltier et al., 2022*) un déplacement d'ensemble de l'île vers l'est et un affaissement (**Figures 8 et 9**). En cumulé entre le 1<sup>er</sup> juillet 2018 et fin 2020 ces déplacements horizontaux sont d'environ 21 à 25 cm vers l'est, et l'affaissement (subsidence) d'environ 10 à 19 cm suivant les sites (**Figure 9**). A noter que vers avril-mai 2019, un premier ralentissement des déplacements a été observé. Début 2020 les déplacements ont de nouveau ralenti et depuis mars 2020 la subsidence est devenue négligeable sur certaines stations GNSS (tels que MTSA, MTSB, PORO, **Figures 9 et 10**). Enfin depuis fin 2020 il n'y a plus de cohérence dans les signaux de déformation qui sont devenus trop faibles et ne sortent pas du bruit, il n'y a plus de signaux interprétables.

Compte tenu des faibles déplacements actuels, les données sont de plus en plus influencées par des effets de charges de surface induites par l'hydrologie et la dynamique atmosphérique à grande échelle. La modélisation des déformations horizontales et verticales sur la période 2002-2018, basée sur les données mensuelles issues de la mission gravimétrique GRACE (calcul IGN ; *Chanard et al., 2018*) montrent des fluctuations de l'ordre de 2 mm en horizontal et de l'ordre de 1 cm en vertical pic à pic sur des périodes de 12, 6 et 3 mois). Par conséquent, les fluctuations des déplacements actuels sur ces échelles de temps doivent être interprétées avec prudence.

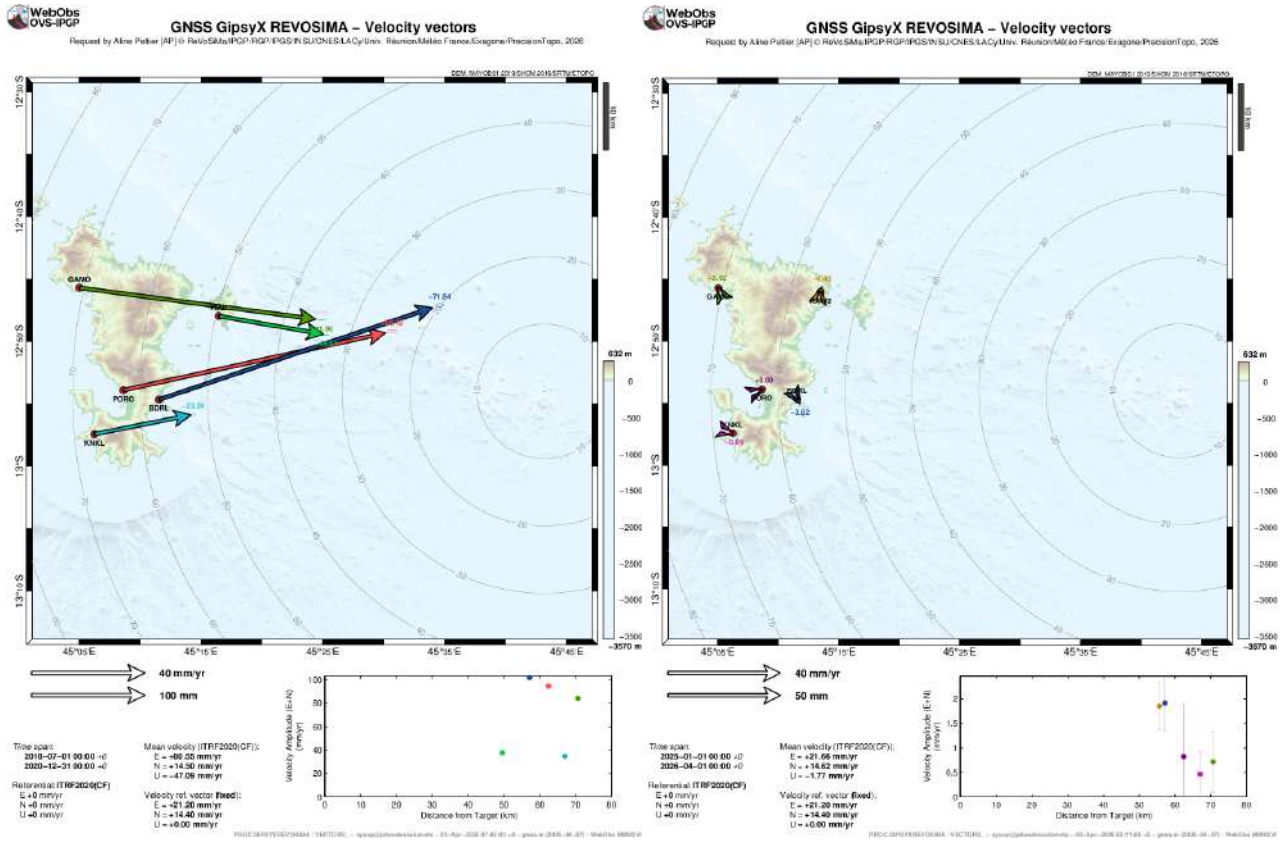
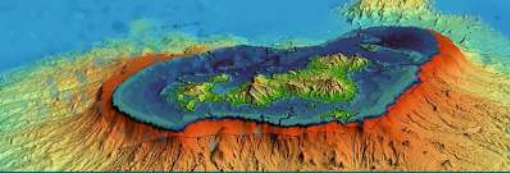


Figure 8 : Déplacements du sol enregistrés sur les stations GNSS de Mayotte entre le 1<sup>er</sup> juillet 2018 et fin 2020 (à gauche) et sur les derniers douze mois (à droite). Les déplacements horizontaux sont représentés sous forme vectorielle et les déplacements verticaux sont indiqués par les valeurs chiffrées en couleur. Les données sont corrigées du mouvement de la plaque. Post-traitement de ces données réalisé par l'IPGP (©OVPF-IPGP / REVOSIMA).



### GNSS GipsyX REVOSIMA – ITRF2020(CF)

Request by Aline Peltier [AP] © ReVoSiMa/IPGP/RGP/IPGS/INSU/CNES/LACy/Univ. Réunion/Météo France/Exagone/PrecisionTopo, 2026

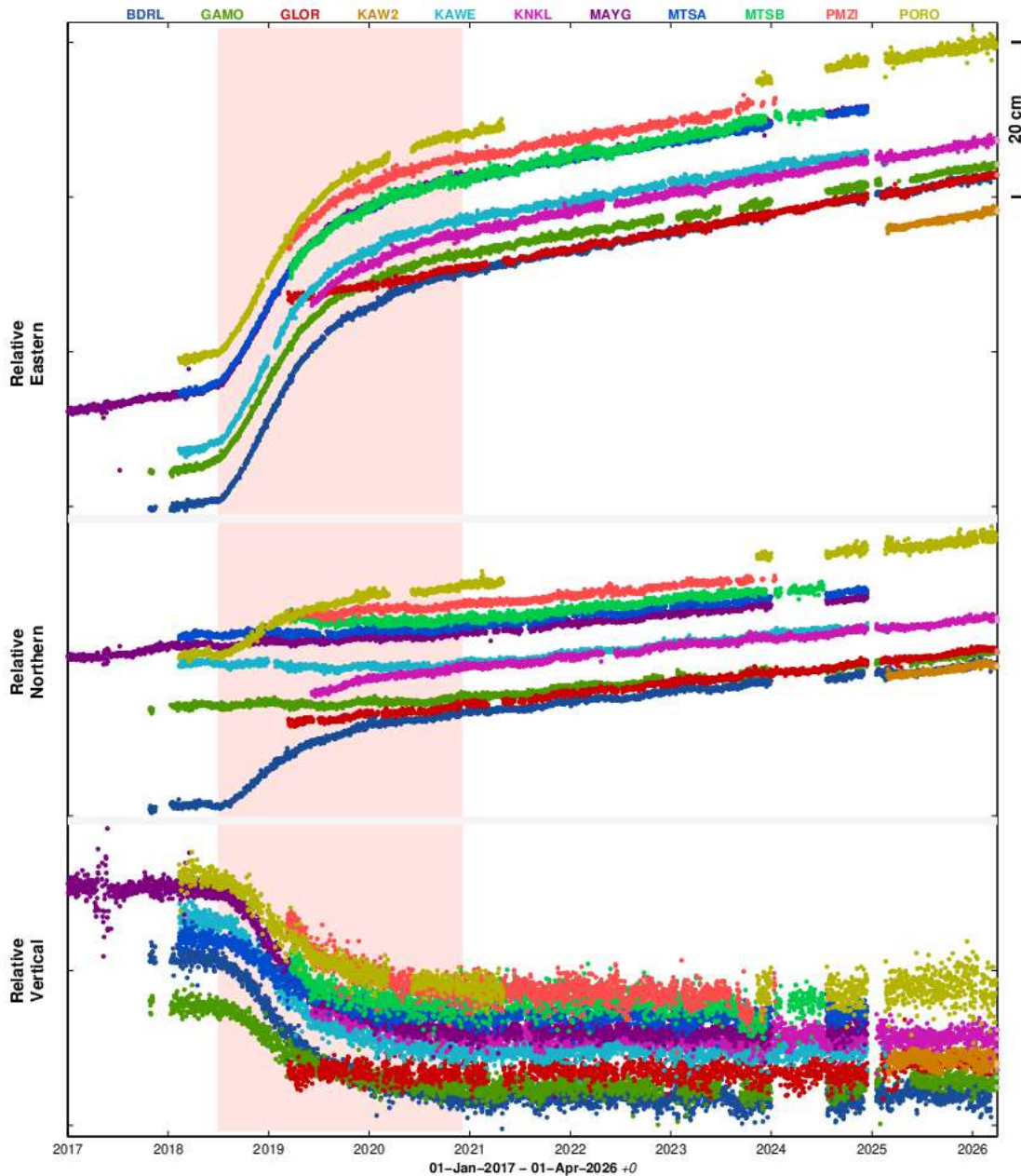


Figure 9 : Déplacements (en cm) enregistrés sur les stations GNSS localisées à Mayotte (BDRL, GAMO, KAW, remplacée en 2025 par KAW2, KNKL, MAYG, MTS, MTSB, PMZI, PORO) et la station GLOR localisée à Grande Glorieuse sur les composantes est (en haut), nord (au milieu) et vertical (en bas) entre le 1<sup>er</sup> janvier 2017 et 31 mars 2026 pour visualiser une longue série temporelle ante crise. Post-traitement de ces données réalisé par l'IPGP. La durée de l'éruption du Fani Maoré est indiquée en rouge (©OVPF-IPGP / REVOSIMA). Suite au passage du cyclone Chido sur Mayotte le 14 décembre 2024, deux stations (MAYG et MTS) ont été détruites. En février 2025, une maintenance de la monumentation ainsi qu'un changement d'antenne à la station KAW ont conduit à la création d'une nouvelle station, KAW2 en remplacement de KAW.

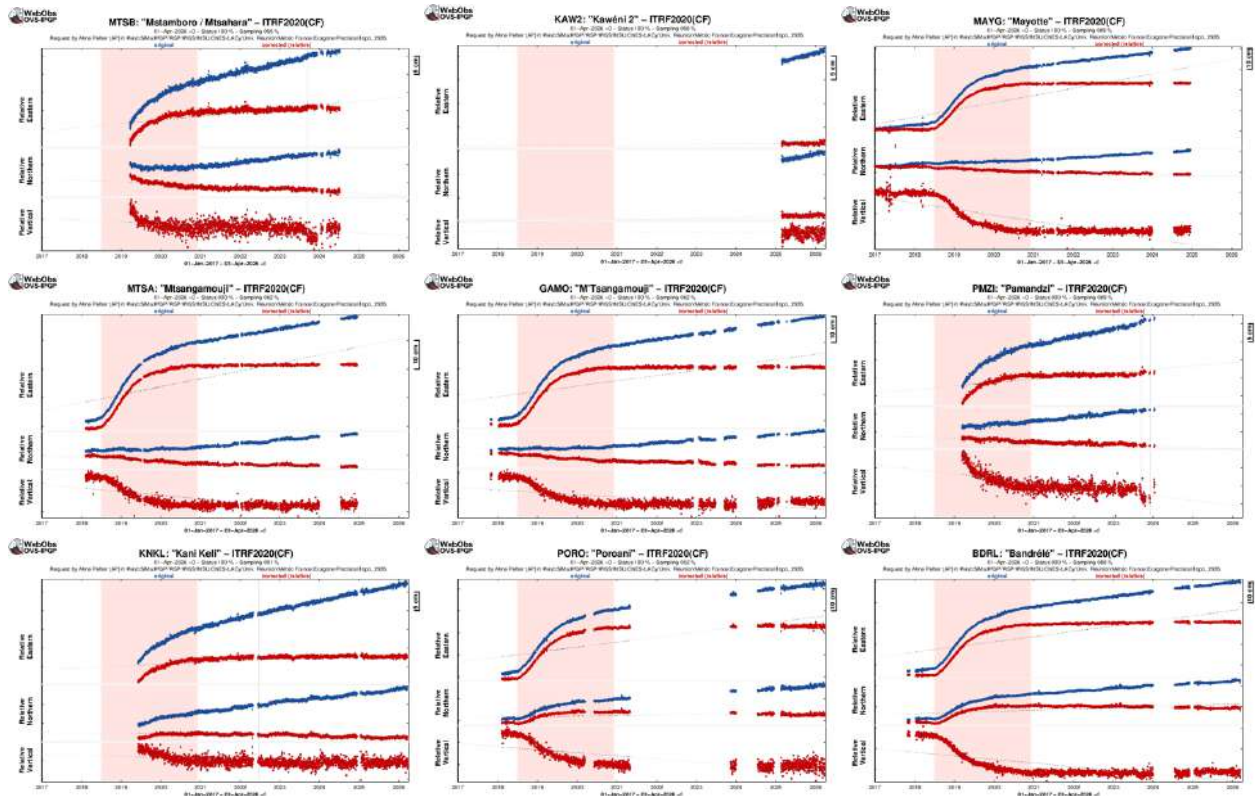


Figure 10 : Déplacements (en cm) enregistrés sur les stations GNSS localisées à Mayotte (MTSB, KAW2, MAYG, MTSA, GAMO, PMZI, KNKL, PORO, BDRL) entre le 1<sup>er</sup> janvier 2017 et le 31 mars 2026 pour visualiser une longue série temporelle ante crise. En bleu les données brutes, en rouge les données corrigées du mouvement de la plaque. Les stations sont présentées dans un ordre géographique ; du nord au sud (de haut en base à et d'ouest en est (de gauche à droite)). Post-traitement de ces données réalisé par l'IPGP. La durée de l'éruption du Fani Maoré est indiquée en rouge (©OVPF-IPGP / REVOSIMA). Suite au passage du cyclone Chido sur Mayotte le 14 décembre 2024, deux stations (MAYG et MTSA) ont été détruites. En février 2025, une maintenance de la monumentation ainsi qu'un changement d'antenne à la station KAW2 ont conduit à la création d'une nouvelle station, KAW2 en remplacement de KAW1.

### En mer

Aux données à terre, se rajoutent les données des capteurs de pression A-0-A qui sont installées sur le fond océanique sur le site de la Couronne et sur le site de référence localisé au nord des sites actifs (nord-est de Petite-Terre sur la pente de Mayotte).

L'analyse préliminaire des différences de pression mesurées par les deux capteurs sous-marins de pression A-0-A lors de la mission MD248-MAYOBS33 (25 septembre au 14 octobre 2025) suggère :

- 1) qu'il n'y a pas eu de déformation lente significative entre les deux sites distants d'environ 9,5 km (résidu < ~0.25 cm/an),
- 2) qu'il n'y a pas eu de déformation transitoire pouvant correspondre à une activité de pulse magmatique ou de déformation tectonique, relative entre les deux sites.
- 3) que si une déformation existe dans la zone, celle-ci affecte les deux sites de la même manière.

## Géochimie des fluides

### A terre

Les secteurs principaux d'émissions de gaz hydrothermaux riches en CO<sub>2</sub> sont i) celui dit de « La plage de l'aéroport » au nord-est de l'aéroport de Petite Terre et proche de l'usine de désalinisation et ii) les zones de bullages au sein du lac Dziani. Pour plus de détails, voir les bulletins N° 1 et N° 4 du REVOSIMA ([www.ipgp.fr/revosima](http://www.ipgp.fr/revosima)).

Le CO<sub>2</sub> est un gaz incolore et inodore. Ces émissions pourraient avoir des flux conduisant à des concentrations élevées localement, en fonction du flux et des forçages météorologiques locaux (hygrométrie, température, vitesse et direction du vent) et de la topographie qui occasionne à terre l'accumulation du CO<sub>2</sub> et du Rn par exemple dans les points bas et les zones non ventilées.

L'analyse des zones de bullage a montré de faibles, mais significatives, variations de la composition chimique des émissions gazeuses par rapport aux valeurs historiques de référence (données BRGM 2005-2008). Ces variations pourraient être en lien avec l'évolution des flux de magma qui alimentent l'activité de l'éruption sous-marine. La cartographie des émissions de gaz par le sol a mis en évidence des flux qui augmentent de l'ouest (Dzaoudzi) à l'est (plage de l'aéroport) de Petite Terre.

Depuis novembre 2020, une station de suivi en continu des émissions de CO<sub>2</sub> par le sol a été installée par l'OVPF/IPGP à proximité de la plage de l'aéroport (station UDMN, **Figure 11**). En effet, parmi les espèces gazeuses, le CO<sub>2</sub> est exsolu des magmas à des profondeurs correspondant à celles du manteau et est ainsi connu pour fournir des indices fondamentaux sur les processus magmatiques profonds (Piton de la Fournaise : Di Muro *et al.*, 2016 ; Boudoire *et al.*, 2017, 2018 ; Etna : Liuzzo *et al.*, 2013 ; El Hierro : Perez *et al.*, 2012).

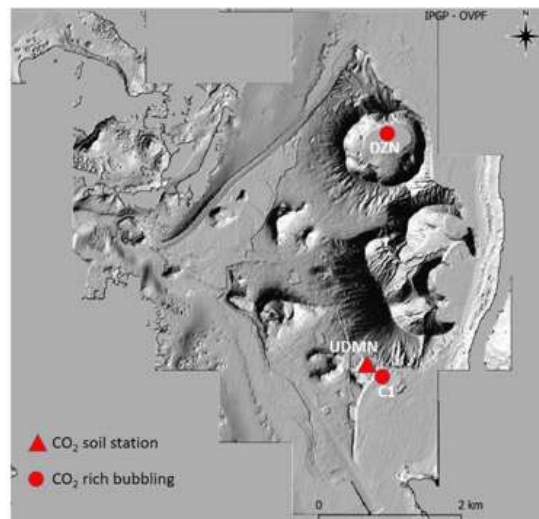


Figure 11 : Sites surveillés du réseau géochimique de Mayotte. Les variations du flux de CO<sub>2</sub> dans le sol sont étroitement liées aux processus magmatiques profonds qui peuvent avoir lieu au niveau du manteau (Di Muro *et al.*, 2016 ; Liuzzo *et al.*, 2021). La composition chimique et isotopique des bullages de gaz est potentiellement influencée par des processus se produisant dans le système hydrothermal crustal (©OVPF-IPGP / REVOSIMA).

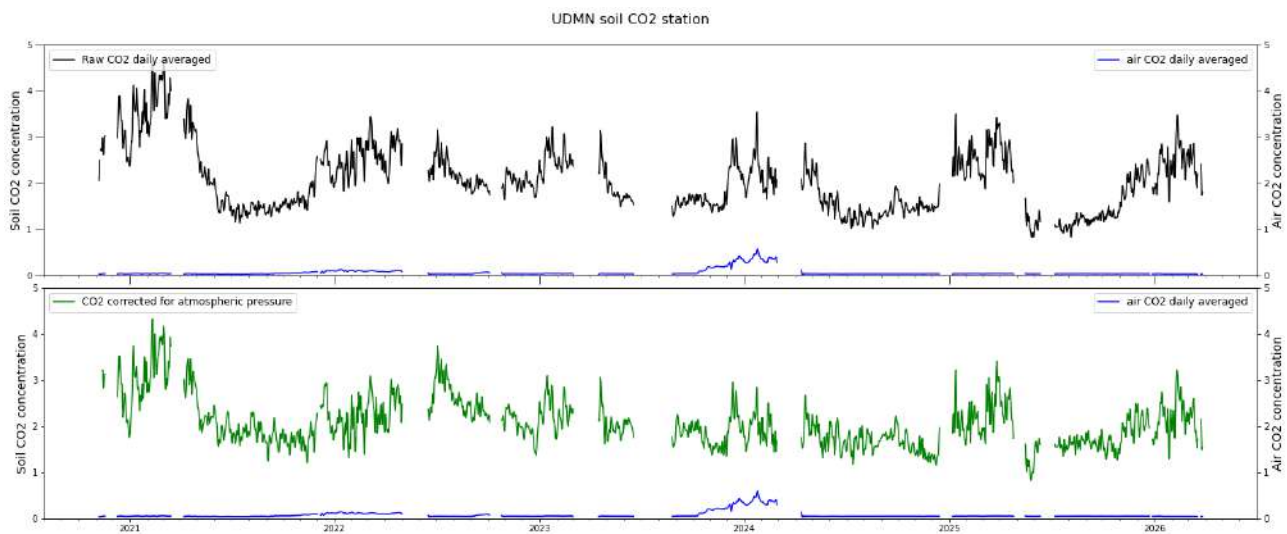


Figure 12 : Concentration en CO<sub>2</sub> dans le sol à la station permanente UDMN. Comparaison entre les données brutes (noir) et les données corrigées de l'influence de la pression atmosphérique (vert). Bleu : concentration du CO<sub>2</sub> dans l'air (1 m au-dessus du sol). Les variations de concentrations dans l'air sont liées à l'activité biogénique (©OVPF-IPGP / REVOSIMA).

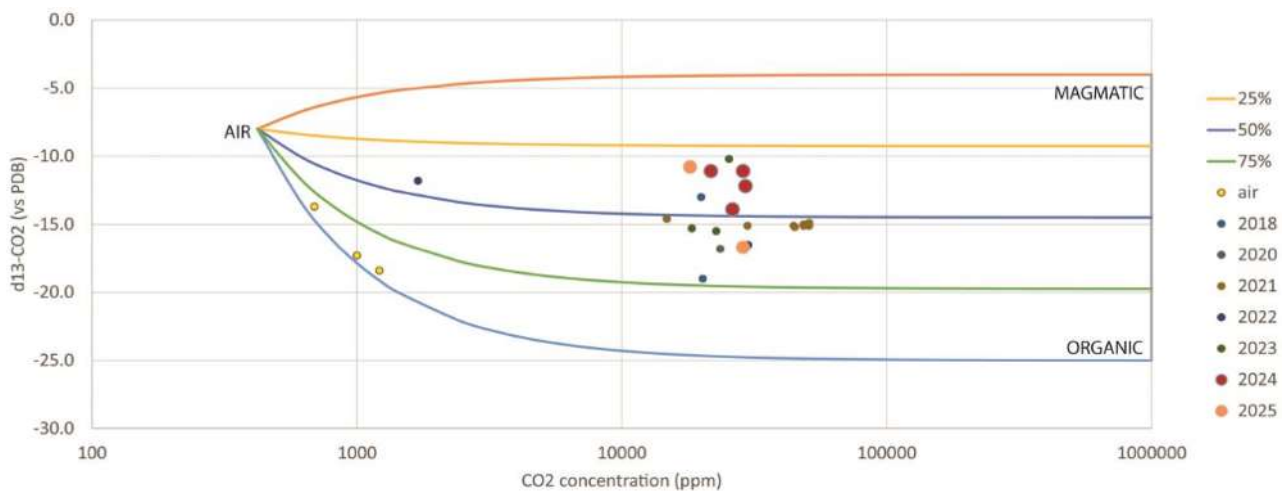
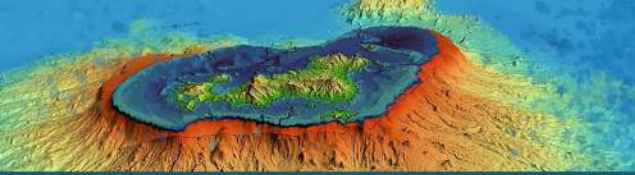


Figure 13 : Variations isotopiques du carbone ( $\delta^{13}\text{C}-\text{CO}_2$ ) du CO<sub>2</sub> dans l'air et dans les gaz du sol à la station UDMN. La composition du pôle magmatique est fixée à -4.0 per mil (signature des bullages du site C1 – estran de l'aéroport).

Un échantillonnage de gaz récurrent est effectué (i) à partir des gaz du sol à la station de CO<sub>2</sub> UDMN pour l'analyse des isotopes du carbone ( $\delta^{13}\text{C}$ ) du CO<sub>2</sub> et (ii) à partir des bullages de gaz hydrothermaux à l'aéroport (site C1, **Figure 11**) et dans le lac Dziani (site DZN, **Figure 11**) pour les gaz nobles (en particulier rapport isotopes hélium :  $^3\text{He}/^4\text{He}$ ), les isotopes carbone ( $\delta^{13}\text{C}$ ) du CO<sub>2</sub> et les températures d'équilibre CO<sub>2</sub>/CH<sub>4</sub>. Des augmentations de  $^3\text{He}/^4\text{He}$  ont souvent été observées sur des volcans actifs étroitement liés aux remontées de magma profond (Rizzo *et al.*, 2015, 2016 ; Sano *et al.*, 2015).

Les apports de magma profond sont susceptibles d'entraîner une augmentation de la concentration de CO<sub>2</sub> dans le sol et une signature isotopique moins négative.

Les mesures isotopiques effectuées depuis novembre 2023 montrent une augmentation de la fraction magmatique et se situent près de la limite supérieure de la composition des fluides émis par ce site (**Figure 13**).



Zoom

Gas bubbling (3He / 4He)

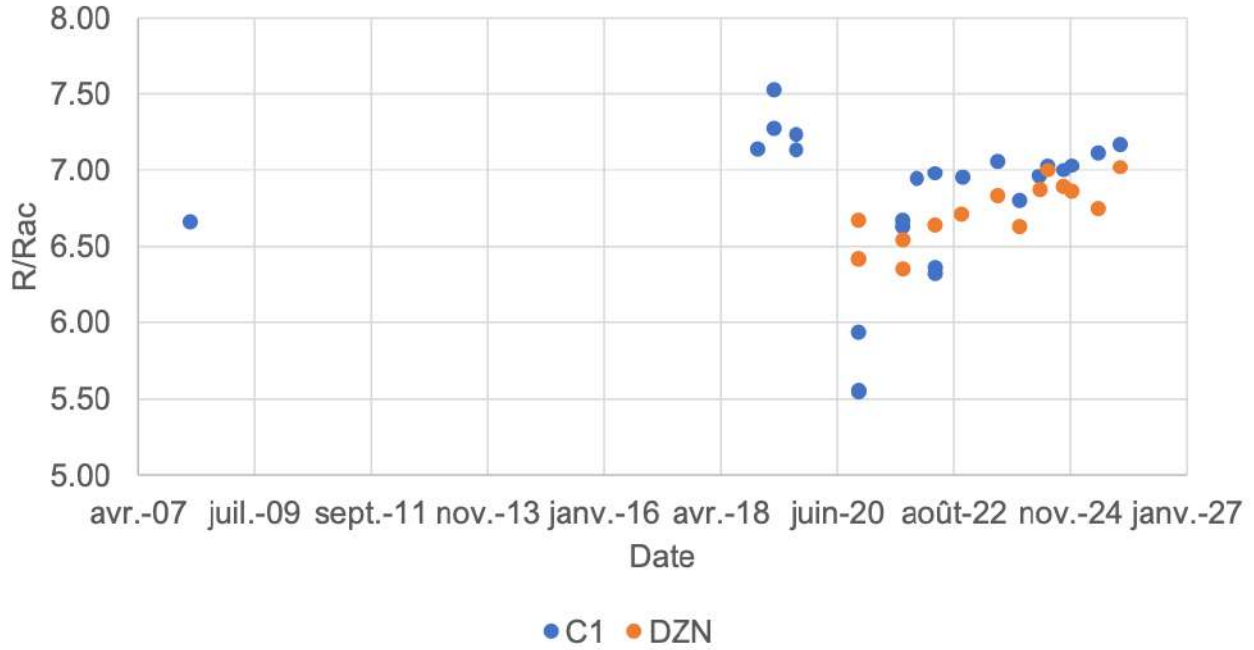


Figure 14 : Analyses isotopiques (gaz rares) des bullages aux points de contrôle C1 (estran de l'aéroport) et DZN (Lac Dziani). Une augmentation du R/Rac (rapport isotopique de l'He normalisé à celui de l'atmosphère) est liée à une augmentation de la contribution des fluides profonds remontant du manteau. Erreur moyenne sur chaque analyse : 0.05 unité.

La contribution d'He mantellique a diminué de 86-82% en 2018-2019 à 81-63% en 2020-2024.

Le rapport He/Ar\* (possible indicateur de profondeur/pression de la source du dégazage) a été peu variable entre 2018-2019 (1.41-1.25) et il est devenu plus variable entre 2020-2024 (3.77-0.71).



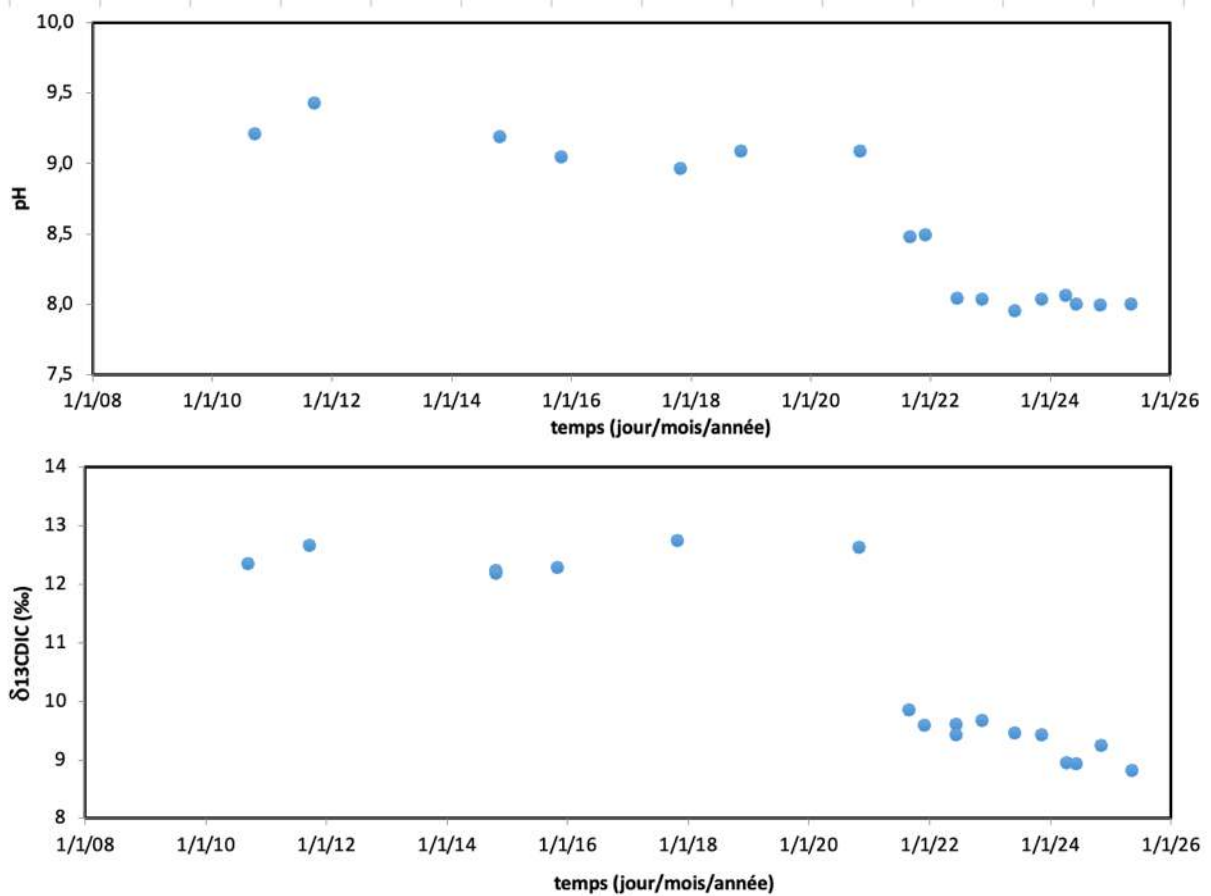


Figure 16 : Évolution temporelle du pH et du  $\delta^{13}\text{C}_{\text{DIC}}$  des eaux du Dziani Dzaha. Données antérieures à 2015 issues de Sarazin et al., (2021) et Cadeau et al., (2020). Données de 2016 à 2021 issues de Cadeau et al., (2022). Données de 2022 et 2025 non publiées.

Depuis l'installation de la station de suivi en continu UDMN en novembre 2020, une diminution progressive et ensuite une stabilisation des flux de  $\text{CO}_2$  par le sol est mesurée.

L'évolution cyclique annuelle des émissions de  $\text{CO}_2$  par le sol est principalement contrôlée par l'évolution saisonnière des paramètres environnementaux. Les baisses de pression associées au cyclone Chido et à la tempête Dikeledi ont produit une augmentation soudaine et temporaire des flux de  $\text{CO}_2$  par le sol, qui s'est désormais estompée.

**Depuis novembre 2023, la composition isotopique du carbone mesurée dans les fluides de la station UDMN indique une augmentation de la fraction magmatique dans les gaz qui diffusent par le sol, dans des proportions comparables à celles mesurées dans le même secteur au début de l'activité éruptive en décembre 2018. En 2025, cette augmentation est aussi visible avec une augmentation de la proportion de l'Helium d'origine mantellique au sein des fluides émis dans les zones de bullage.**

Les concentrations en  $\text{CO}_2$  détectées dans l'air (courbe bleue sur la **Figure 12**) ainsi que leur composition isotopique sont par contre contrôlées par la variabilité de l'apport biogénique.

La composition chimique des gaz hydrothermaux riches en  $\text{CO}_2$  (bullages) collectés dans le point de contrôle avec la série temporelle la plus longue (C1 - estran de l'aéroport) indique une tendance à la diminution progressive de l'apport des fluides profonds mantelliques entre 2018 et 2021 et ensuite une stabilisation sur un niveau intermédiaire depuis 2022. Cette évolution s'accompagne d'une baisse et ensuite une stabilisation des températures d'équilibre des fluides au sein du système hydrothermal (diminution d'environ  $50^\circ\text{C}$ ).

Suite aux augmentations qui se confirment en 2025, la contribution en fluides profonds mantelliques est devenue proche sur le point de contrôle DZN au sein du Dziani Dzaha et le site de contrôle de l'estran de l'aéroport.

Les températures d'équilibre apparentes calculées pour le système hydrothermal qui alimente les bullages du Dziani Dzaha restent plus faibles par rapport au site de contrôle de l'estran de l'aéroport. Ceci, par contre, pourrait en partie résulter de la conversion partielle  $\text{CO}_2\text{-CH}_4$  au sein du système lacustre et être influencée par les fluctuations du flux de  $\text{CO}_2$  observées au sein du lac.

**Depuis novembre 2020, le pH du Dziani Dzaha a diminué drastiquement de 9,2 à 8,0, valeur autour de laquelle il est resté relativement stable jusqu'en mai 2025. On observe aussi une diminution de la composition isotopique du carbone inorganique dissous dans le lac ( $\delta^{13}\text{C}_{\text{DIC}}$ ) découplée du pH : elle se fait en deux temps : le premier brutal courant 2021 (de +12,5 à +9,8‰) et le second très progressif (de +9,6 à +8,8‰) entre novembre 2022 et mai 2025.**

## En mer

Des panaches acoustiques associés à des anomalies géochimiques ont été détectés dans la colonne d'eau au-dessus de cette structure du Fer à Cheval, dont la hauteur peut atteindre > 1200 m et qui sont visibles jusqu'à 150 m, voire 125 m, de la surface de la mer.

La chronologie de l'observation par acoustique des sites actifs d'émission de fluides sur la zone du Fer à Cheval suit le schéma suivant : sites A0 et B0 depuis mai 2019, site C0 depuis août 2019, sites D0 et E0 depuis mai 2020, sites C1 et F0 actifs depuis octobre 2020 en simultané à une expansion vers le nord-ouest des sites A0 et B0 (observation des nouveaux sites B1, A1 et A2), sites G0, D1, C2+C3 et C4 entre janvier et mai 2021, site H0 observé le 10 juillet 2021. Le site actif I0 a été observé le 20 septembre 2021 lors de la couverture acoustique de surveillance du Fer à Cheval pendant la campagne MAYOBS21 (*Rinnert et al., 2021c*) ainsi que les sites D2 et C5 en analyse à terre post-campagne. Le site J0, situé au sud à l'extérieur du Fer à Cheval a été identifié au cours de la campagne MD239-MAYOBS23 (*Jorry et al., 2022*) le 10 juillet 2022. L'analyse détaillée post-campagne des données acoustiques colonne d'eau acquises pendant MAYOBS23 révèle l'observation de deux nouveaux sites en plus du site J0 : I1 à environ 240 m au sud-ouest du site I0 et D3 sur le flanc intérieur est. Enfin un nouveau site actif d'émission nommé K0 a été observé, à proximité du site H, dans le prolongement du flanc ouest du Fer à Cheval lors de la campagne en mer MD242-MAYOBS25 (*Thinon et Lebas, 2023*) pour un total de 23 sites identifiés.

**L'analyse préliminaire des données acquises lors de la campagne MD248-MAYOBS33 montre :**

- **Aucun signal significatif pouvant être associé à la présence d'émission de fluides en fond de mer en dehors de la zone du Fer à Cheval et son périmètre élargi.**
- **Identification sans ambiguïté de la continuité de l'activité d'émission de fluides des 17 des 23 sites déjà observés pendant les campagnes antérieures à savoir : A0, A1, A2, B0, B1, C0, C1, C2+C3, C5, D0, D1, E0 (+un 2<sup>ième</sup> site, E1, situé à 200m du site connu E0), G0, H0, I0, J0 (Figure 17).**
- **Pas de changement pour les groupes A et B, stables et très bien identifiables. Le panache B0 reste le plus intense, mesuré entre 150 m et 125 m sous la surface, au lieu de 400 m habituellement (campagnes précédentes) : les panaches n'avaient jamais été observés aussi proche de la surface et une telle hauteur dans la colonne d'eau (influence probable des marées VE/ME qui peuvent limiter la hauteur d'eau maximale atteinte).**
- **Les panaches C0, C1, C2, C3 (voire C4) se confondent en un seul grand site et continuent de s'étendre horizontalement sur le plancher océanique.**
- **Les sites D0 et D1 sont spatialement difficile à distinguer (liée peut-être à une racine délocalisée) ;**
- **Le panache sur le site E0 prend de l'ampleur, il est désormais constitué de 2 branches distinctes de 200 m, ce qui pose la question d'une discrimination nominale en deux sites différents (E0 et E1) dans la même zone.**
- **La panache I1, de faible intensité, n'a pas été détecté par notre sondeur malgré les passages à proximité.**

Ces résultats sont préliminaires et seront à confirmer par le post-traitement. Néanmoins, une évolution des sites de sorties de fluides (CO<sub>2</sub> liquide) est observée par rapport à la campagne précédente MD246-MAYOBS30, mais ils restent cependant dans le secteur du Fer à Cheval élargi (Figure 17). Ces résultats sont à confirmer par le post-traitement à terre. Une analyse complète est nécessaire pour conclure sur le niveau d'activité des sites d'émission connus.

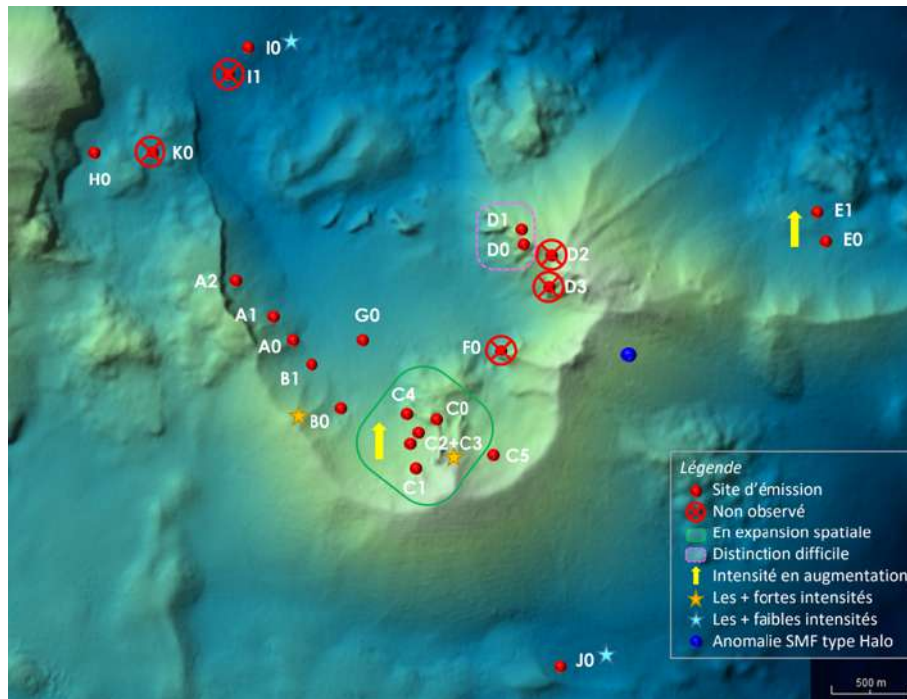


Figure 17 : Résultats préliminaires sur l'observation des panaches acoustiques du Fer à Cheval des sites d'émissions de fluides (CO<sub>2</sub> liquide) lors de la campagne MD248-MAYOBS33 en date du 14-10-2025 : les cercles rouges indiquent les panaches non observés, les flèches jaunes les sites actifs dont l'activité est en augmentation, le cercle vert illustre la zone C où l'activité d'émission de fluides de sites actifs est probablement en augmentation et extension spatiale (©REVOSIMA).

Les panaches acoustiques et géochimiques restent donc fortement actifs dans la zone du Fer à Cheval. Les fluides émis en fond de mer et collectés lors de la campagne GEOFLAMME (Mastin et al., 2023) sont composés majoritairement de dioxyde de carbone CO<sub>2</sub> (99,0 ± 0,3 %<sub>vol</sub>), avec une faible contribution de méthane CH<sub>4</sub> (0,8 ± 0,2 %<sub>vol</sub>) et de dihydrogène H<sub>2</sub> (10 à 1000 ppm<sub>vol</sub>). La signature isotopique du carbone stable (<sup>13</sup>C) montre que le CO<sub>2</sub> est d'origine mantellique et suggère que le CH<sub>4</sub> est quant à lui d'origine abiotique, bien qu'une contribution mixte biogénique/thermogénique (i.e. issu d'une transformation de matière organique) ne puisse être complètement exclue. L'hélium et sa signature isotopique (<sup>3</sup>He/<sup>4</sup>He) mesurés sur les panaches indiquent une source mantellique, confirmant l'origine magmatique profonde des fluides, obtenue avec les isotopes stables du carbone. Les signatures élémentaires et isotopiques des différents gaz constituant les fluides émis au niveau du Fer à Cheval sont similaires aux gaz émis à terre au niveau de Petite-Terre.

Les analyses préliminaires des mesures et prélèvements réalisés avec la CTD-Rosette lors de la dernière campagne MD248-MAYOBS33 montrent :

- L'influence des émissions de CO<sub>2</sub> liquide a été caractérisée au niveau du site connu B0 et de la nouvelle racine E1. Les concentrations en CO<sub>2</sub> dissous dans les fluides prélevés atteignent jusqu'à 52 μmol L<sup>-1</sup> et 529,3 μmol L<sup>-1</sup> respectivement dans la colonne d'eau des sites E1 et B0.

- Au niveau des sites connus C2 et C3, une faible anomalie a été détectée avec une concentration en  $\text{CO}_2$  plus importante ( $43.2 \mu\text{mol L}^{-1}$ ) à 1160.6 m en comparaison du reste du profil vertical. Cette anomalie demeure à confirmer ou affiner lors des mesures de  $\text{CH}_4$  dissous à partir des échantillons analysés à terre.
- Les zones du centre du Fer à Cheval et du chenal présentent des concentrations relativement élevées en  $\text{CO}_2$  dissous dans les tranches d'eau profondes, jusqu'à respectivement  $54.0$  et  $61.1 \mu\text{mol L}^{-1}$ .
- Les résultats d'alcalinité, pH et concentrations en  $\text{CO}_2$  dans la colonne d'eau traversée pendant l'opération de bathysonde ne permettent pas d'associer les anomalies de BI détectées ces derniers mois par le glider (cf. section suivante) à l'émergence d'un nouveau site d'émission en l'état. Seule une anomalie dans les concentrations en  $\text{CH}_4$  dissous pourrait corroborer cette hypothèse sur la base des données acquises dans le cadre la mission MD248-MAYOBS33.

Les concentrations préliminaires en  $\text{CO}_2$  dissous, mesurées à bord du bateau pendant la campagne MD248-MAYOBS33, sont à mettre en relation avec les courants marins de fond et leur influence sur l'orientation des panaches au moment des prélèvements. Les concentrations relativement faibles déterminées au niveau des sites C2 et C3 ne reflètent pas une baisse des émissions par rapport aux années précédentes, mais la difficulté rencontrée à positionner la CTD-Rosette en raison des forts courants de direction changeante au cours des 5 heures d'opérations. À l'inverse, les fortes concentrations mesurées au droit du site B0 demeurent dans l'ordre de grandeur des analyses de la campagne de 2024 et d'un positionnement optimal au droit des émissions.

L'évolution des émissions dans la zone au cours du temps fera l'objet d'une analyse plus fine sur la base de concentrations de l'ensemble des gaz dissous d'intérêt ( $\text{CO}_2$ ,  $\text{CH}_4$ ,  $\text{H}_2$ ).

### Mesures des propriétés physico-chimiques de la colonne d'eau entre 0 et 1250 m de profondeur par planeur sous-marin autonome

En vertu d'un contrat conclu entre l'Ifremer et la société Alseamar, filiale du groupe Alcen ([www.alseamar-alcen.com](http://www.alseamar-alcen.com)), un drone sous-marin autonome de type planeur SeaExplorer est mobilisé en mer au large de Mayotte, à 10-15 km des côtes Est. Il est en opération à Mayotte depuis le 17 septembre 2021 dans l'objectif de renforcer le réseau d'observation en mer du REVOSIMA.

Le SeaExplorer est entièrement fabriqué en France et est la seule plateforme de ce type de conception européenne. A la demande du REVOSIMA et de l'Ifremer, une version 1250m a été développée par Alseamar en 2023. Il se déplace silencieusement dans la colonne d'eau par des changements de flottabilité, utilisant un système de réservoir d'huile externe, alimenté par des batteries rechargeables. Lorsque le réservoir se remplit, le planeur monte le long de la colonne d'eau et l'inverse se produit quand le réservoir est vidangé. Des ailes et un ordinateur de bord permettent au planeur de s'orienter et de suivre une trajectoire prédéfinie qui est connue avec une précision de l'ordre de la centaine de mètres. Le SeaExplorer est piloté à distance via des communications satellite établies avec un centre de contrôle basé à Rousset (Bouches-du-Rhône, France). A chaque fois que le planeur rejoint la surface, un sous-échantillonnage des données est transmis et de nouvelles instructions de navigation peuvent être envoyées pour modifier/adapter la route. Tout le long de la trajectoire, des données physiques, chimiques, biologiques et/ou acoustiques, en fonction des capteurs installés, sont collectées aux moyens de capteurs océanographiques.

Pour le suivi des émissions de fluides magmatiques dans la zone de Mayotte, la navigation du SeaExplorer a été choisie de façon à optimiser l'acquisition de données en profondeur, là où les signaux sont supposés être les plus marqués. A intervalle de temps régulier (généralement toutes les 8h environ), le planeur plonge à une profondeur de 1250 m (immersion maximale), pendant une durée d'environ 5 h en parcourant une distance de 5 à 6 km. Cette phase correspond à une traversée où le planeur navigue en dent de scie pour réaliser des profils verticaux entre 800 et 1250 m. Pour atteindre cette profondeur et ensuite rejoindre la surface, le planeur traverse la colonne d'eau, tout en continuant son acquisition. Environ 3h sont nécessaires au planeur pour monter et descendre à 1250 m (2 x 1h30), et le temps passé en surface pour la communication ne dépasse généralement pas 20 min.

Le SeaExplorer déployé à Mayotte est équipé de capteurs miniaturisés, permettant de mesurer à haute-résolution spatiale et temporelle, et de façon quasi-continue, les concentrations en gaz dissous ( $\text{CH}_4$ ,  $\text{CO}_2$ ,  $\text{O}_2$ ), les propriétés physiques (température, salinité, courant) et acoustiques dans l'eau. Des algorithmes spécifiques de traitement de données ont été développés par Alseamar, pour la plupart adaptés de méthodes publiées et répondants aux standards internationaux. Les données sont transférées à terre à chaque remontée en surface. Elles sont traitées, contrôlées et transmises à l'Ifremer par Alseamar tous les jours. L'Ifremer assure l'expertise sur ces données et informe régulièrement le REVOSIMA. Stratégie d'acquisition et qualité des données sont abordées chaque semaine lors de rendez-vous entre Alseamar et Ifremer. A chaque maintenance du planeur (1 journée tous les 21 jours environ), les capteurs sont nettoyés, les batteries rechargées et l'intégralité du jeu de données téléchargée. Une nouvelle analyse plus détaillée des données est réalisée après chaque période sur la base du jeu de données complet. Un catalogue exhaustif de l'ensemble des traversées effectuées par le planeur est produit et mis à disposition du REVOSIMA.

Les valeurs des concentrations en  $\text{CH}_4$  et  $\text{CO}_2$ , enregistrées par le SeaExplorer, sont obtenues à partir des coefficients de calibration d'usine fournis par les fabricants des capteurs (METS – Franatech ; MINI- $\text{CO}_2$  - Pro-Oceanus). Pour le  $\text{CH}_4$ , elles ne correspondent pas exactement aux valeurs absolues de référence, mais fournissent des mesures qualitatives et relatives des anomalies et de leur évolution au-dessus de 1250 m. Pour le  $\text{CO}_2$ , ces valeurs de concentrations sont utilisées pour mettre en évidence des anomalies de concentration associées à des émissions actives de fluide dans la couche profonde 800-1250 m. Ces anomalies sont déterminées via un algorithme par lequel, après soustraction de la ligne de base environnementale, les valeurs maximales de concentrations pour chaque passage dans la couche profonde sont identifiées. En considérant des conditions environnementales stables, ces anomalies sont associées à des émissions actives de fluide. Néanmoins, les conditions physiques et hydrodynamiques locales contrôlant la dispersion des panaches de gaz dissous (temps de résidence, export et renouvellement des masses d'eau sont soumis notamment aux courants de marée), la localisation d'une anomalie de gaz dissous est susceptible d'être relativement différente de celle du site d'émission de fluide en fond de mer.

Les anomalies acoustiques sont déduites des mesures du courantomètre acoustique à effet Doppler (capteur ADCP - Nortek) qui équipe le SeaExplorer déployé à Mayotte. Elles sont obtenues en considérant l'intensité du signal acoustique rétrodiffusé (nommé BI pour backscatter index en anglais) renvoyé vers le capteur par les cibles (bulles, gouttelettes, plancton, sédiment...), sur une distance verticale d'environ 15 m sous le planeur. Un événement BI est défini en appliquant à l'intensité du signal rétrodiffusé un algorithme développé pour prendre en compte la part du signal acoustique relative à la ligne de base environnementale en absence d'émissions de fluide. Sur la zone du Fer à Cheval et en considérant des conditions environnementales stables, la détection d'un événement BI peut être associée à une émission active de fluide.

Les mesures effectuées par le SeaExplorer depuis le 17 septembre 2021 ont permis d'identifier et de suivre tous les sites d'émissions de fluide et de panaches acoustiques reconnus par les campagnes MAYOBS du REVOSIMA dans la zone du Fer à Cheval. Les résultats indiquent que des fluides sont régulièrement détectés entre 800 et 1250 m de profondeur, attestant de l'activité toujours en cours dans la zone du Fer à Cheval. Des variations temporelles de concentrations en gaz dissous dans la colonne d'eau peuvent être observées mais doivent être interprétées avec prudence. L'analyse des résultats indique que la variabilité enregistrée est liée à l'activité des sites actifs mais aussi liée à des forçages externes comme les courants.

#### **Caractéristiques opérationnelles des acquisitions du 1<sup>er</sup> au 31 mars 2026**

Entre le 1<sup>er</sup> et le 31 mars 2026, le SeaExplorer a été déployé sur l'intégralité de la zone du Fer à Cheval. Il a effectué 90 multi-yos représentant plus de 435 km parcourus et près de 425 heures d'acquisition de données dans la tranche d'eau de 800 à 1250 m d'immersion.

#### **Exploitation des données sur la période du 24 février au 13 mars 2026**

L'intégralité du jeu de données d'une mission a été récupérée et traitée pour le mois de mars 2026. Ci-dessous sont présentées les données d'effort d'échantillonnage et de backscatter index (BI) pour la mission 98, qui s'est déroulée entre le 24/02/2026 et le 13/03/2026.

L'effort d'échantillonnage correspond au nombre de points d'échantillonnage effectués sur un maillage prédéfini couvrant la zone géographique à surveiller. Ce paramètre est utilisé pour valider statistiquement les données physico-chimiques enregistrées par le planeur lors de son parcours dans la colonne d'eau. Pour les

missions à Mayotte, l'effort d'échantillonnage est quantifié sur des carrés de 500 m de côté avec un maillage qui recouvre la zone étendue du Fer à Cheval (**Figure 18**). Au cours des missions opérées au mois de mars, l'intégralité des sites d'émissions de fluides connus a été visitée avec un effort d'échantillonnage satisfaisant.

Le nombre hebdomadaire des détections d'évènement BI (**Figure 19**) sur toute la série temporelle depuis septembre 2021 est utilisé comme un indicateur de l'activité d'émission de fluides. Depuis le début de la surveillance par planeur (17/09/2021), le nombre d'évènements BI suit un schéma stable avec une variabilité plutôt associée à des forçages externes comme les courants ou à la stratégie d'échantillonnage spatiale adoptée. La majorité d'évènements BI observés est localisée sur la structure du Fer à Cheval et à proximité des sites actifs d'émissions de fluides déjà répertoriés (**Figure 20**). La distribution spatiale des anomalies de concentrations en CO<sub>2</sub> de la couche profonde est cohérente avec les détections d'évènements BI. Les anomalies sont plus élevées au sein de la structure du Fer à Cheval et à proximité des sites actifs d'émissions de fluides connus (**Figure 21**).

Pour la période entre le 24/02/2026 et le 13/03/2026, le nombre et la répartition spatiale d'évènements BI, ainsi que l'intensité et la distribution spatiale des anomalies de concentrations en CO<sub>2</sub> sont cohérents avec la série temporelle et la localisation des sites actifs connus. Au cours du mois d'août 2025, plusieurs évènements BI associés à des anomalies en gaz dissous ont été détectés en profondeur de la colonne d'eau dans la zone géographique entre les sites D, E et F. Les archives de données depuis octobre 2023 ainsi que les données acquises depuis octobre 2025 montrent des signaux similaires avec une occurrence faible. Une attention particulière a été portée sur cette zone dans l'objectif de définir la nature des signaux observés à l'occasion de la campagne MAYOBS 33 (du 25/09/2025 au 14/10/2025). Les résultats de l'échantillonnage et du profil physico-chimique réalisé par l'opération de CTD-Rosette ne permettent pas de valider l'apparition d'un nouveau site d'émission de fluide. Néanmoins, la détection régulière mais modérée de signaux BI et d'anomalies de gaz par le planeur sous-marin ainsi que les évènements ponctuels et plus fréquents du mois d'août 2025 permettent de proposer l'hypothèse d'émissions de fluides intermittentes et/ou diffuses dans ce secteur géographique.

A l'heure actuelle, l'intégralité des données physico-chimiques acquises par le planeur n'apporte pas d'indice probant de la présence de nouveaux sites majeurs d'émission de fluides en dehors de ceux déjà connus de la zone du Fer à Cheval, dans les limites des résolutions et des possibilités du planeur. Cela n'exclut pas la présence possible de panaches nouvellement apparus depuis la précédente campagne océanographique et qui seraient hors d'atteinte des capacités du planeur (concentrations faibles et inférieures aux limites de détection des capteurs, panaches remontant peu dans la colonne d'eau, panaches confondus avec ceux déjà existants).

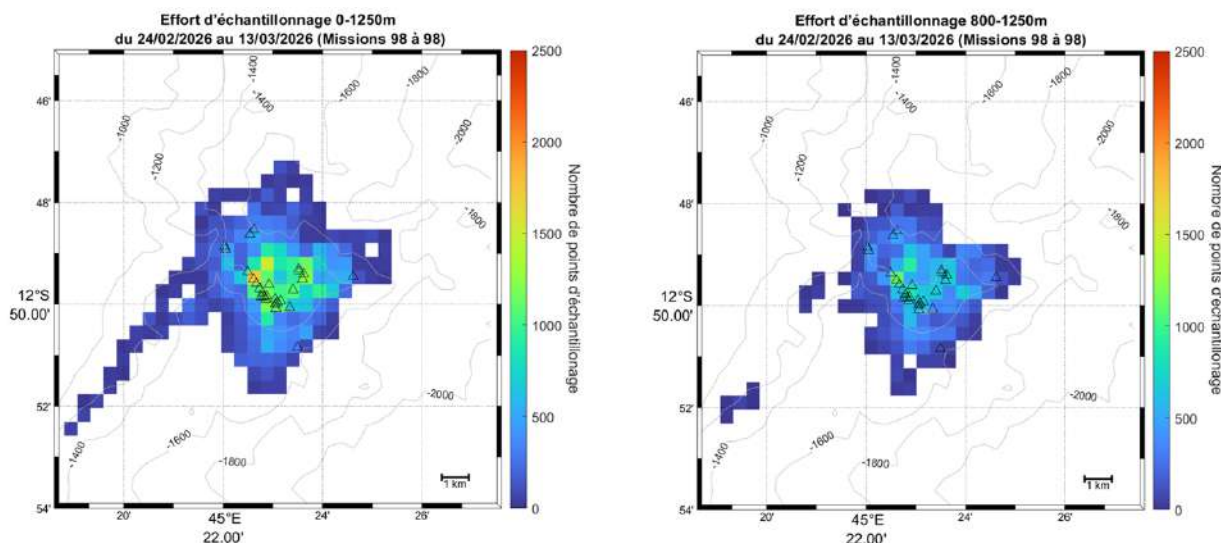


Figure 18 : Cartes centrées sur le Fer à Cheval représentant l'effort d'échantillonnage du planeur pour la période du 24/02/2026 au 13/03/2026 (mission 98) entre 0 et 1250 m de profondeur (à gauche), et entre 800 et 1250 m de profondeur (à droite). Le maillage est illustré par des cellules carrées mesurant 500 m de côté (0,25 km<sup>2</sup>). La couleur représente le nombre de points d'échantillonnage réalisés dans chaque cellule. La bathymétrie est indiquée par des isobathes tous les 200 m. Les triangles noirs correspondent à la position du barycentre des sites actifs d'émissions de fluides déjà répertoriés (Scalabrin, C. (2023), <https://doi.org/10.12770/070818f6-6520-49e4-bafd-9d4d0609bf7d>).

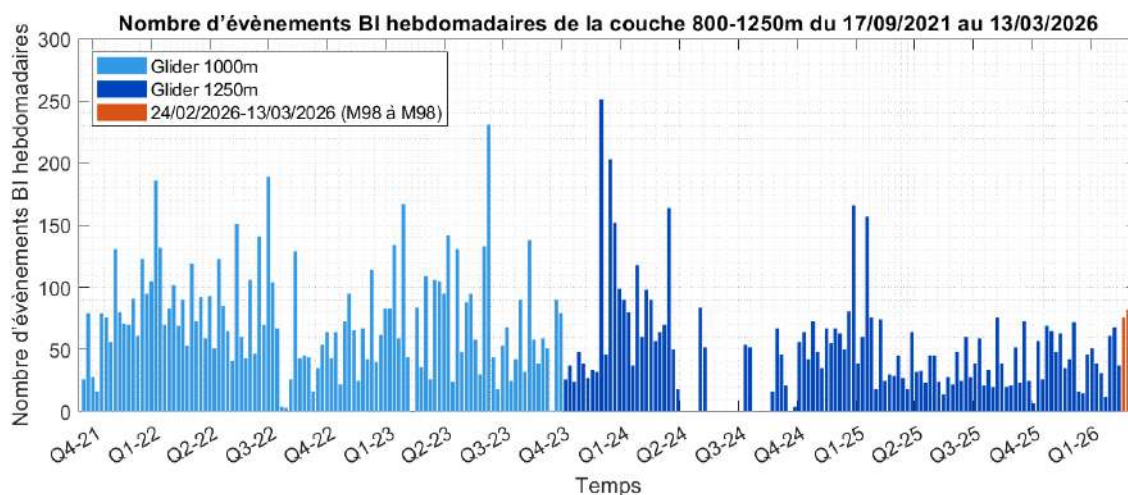


Figure 19 : Histogramme du nombre hebdomadaire de détections d'évènement BI (Backscatter Index) depuis le début de la surveillance par planeur (17/09/2021) et jusqu'au 13/03/2026 (fin de la mission 98). Résultats obtenus avec les planeurs limités à 1000 m d'immersion en bleu clair et à 1250 m d'immersion en bleu foncé. En orange, résultats pour la période entre le 24/02/2026 et le 13/03/2026 (Mission 98) avec le planeur limité à 1250 m d'immersion. L'échelle de temps est représentée par quartiles des années 2021 à 2026. Les périodes où le planeur n'a pas été utilisé sont symbolisées par un nombre d'évènements BI hebdomadaire égal à zéro.

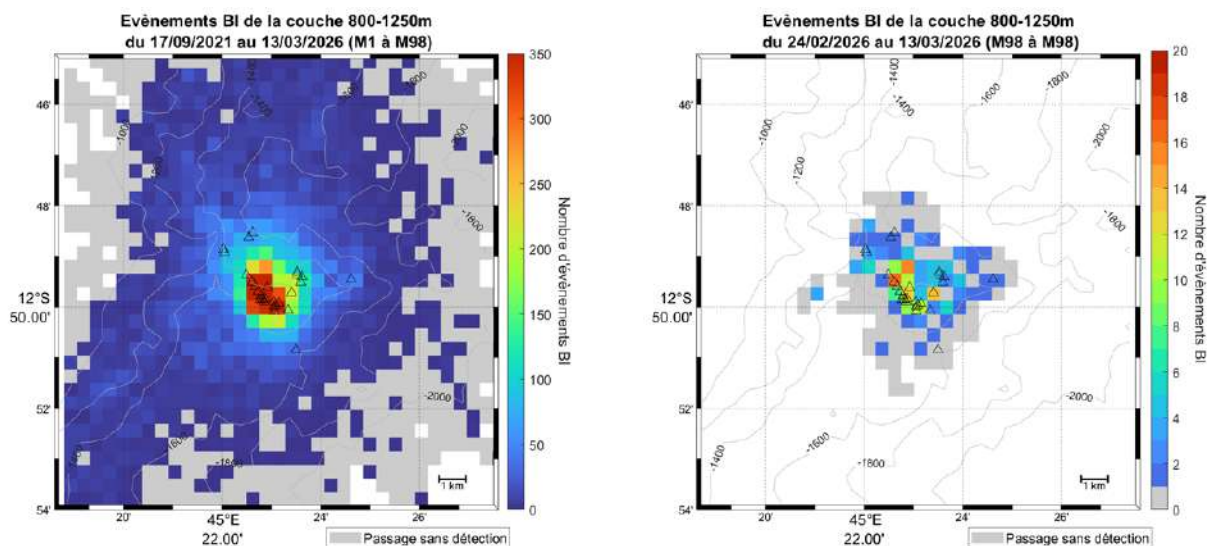


Figure 20 : Cartes centrées sur le Fer à Cheval représentant le nombre d'évènements BI (Backscatter Index) entre 800 et 1250 m de profondeur. A gauche, depuis le début de la surveillance par planeur du 17/09/2021 au 13/03/2026 ; à droite, pour la période du 24/02/2026 au 13/03/2026 (mission 98). Le maillage est illustré par des cellules carrées mesurant 500 m de côté (0,25 km<sup>2</sup>). La couleur représente le nombre de d'évènements de BI détectés dans chaque cellule. La bathymétrie est indiquée par des isobathes tous les 200 m. Les triangles noirs correspondent à la position du barycentre des sites actifs d'émissions de fluides déjà répertoriés (Scalabrin, C. (2023), <https://doi.org/10.12770/070818f6-6520-49e4-bafd-9d4d0609bf7d>).

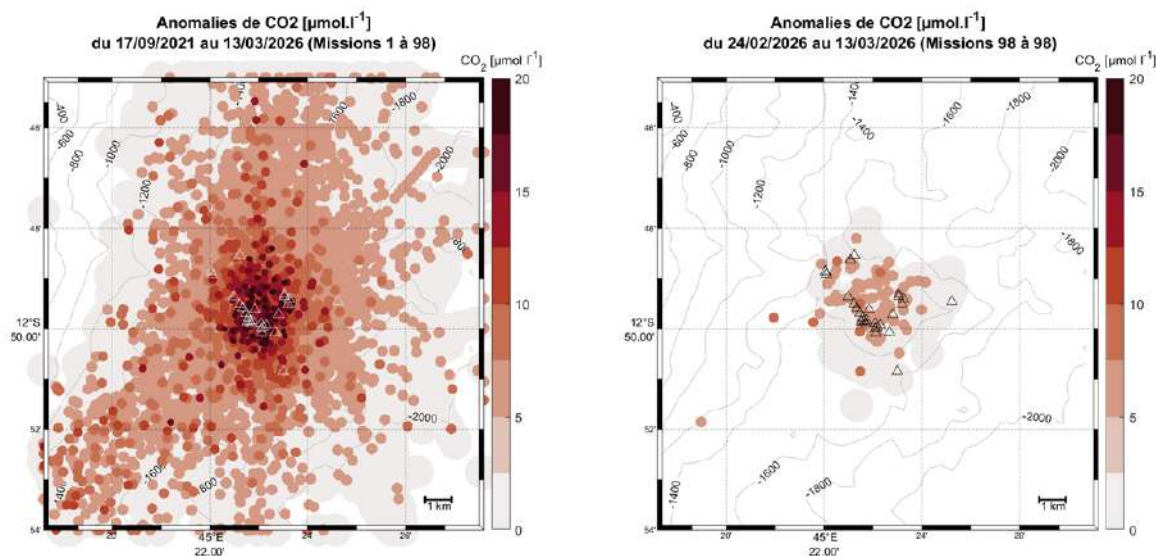
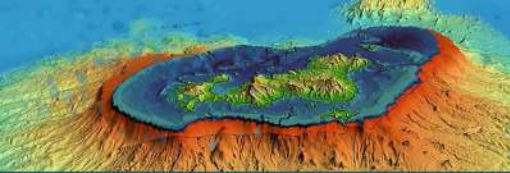


Figure 21 : Cartes centrées sur le Fer à Cheval représentant la distribution spatiale des maxima, pour chaque yo du planeur, des anomalies de concentration en CO<sub>2</sub> entre 800 et 1250 m de profondeur. A gauche, depuis le début de la surveillance par planeur du 17/09/2021 au 13/03/2026 ; à droite, pour la période du 24/02/2026 au 13/03/2026 (mission 98). Les valeurs des anomalies sont classées par couleur correspondant à des intervalles de concentrations et sont représentées par des cercles de taille décroissante avec l'intensité de la concentration. La bathymétrie est indiquée par des isobathes tous les 200 m. Les triangles gris correspondent à la position du barycentre des sites actifs d'émissions de fluides déjà répertoriés (Scalabrin, C. (2023), <https://doi.org/10.12770/070818f6-6520-49e4-bafd-9d4d0609bf7d>).



## Magnétotellurique

La méthode magnétotellurique ou MT (*Vozoff, 1972*) permet d'investiguer la structure géo-électrique du sous-sol par l'étude des relations entre le champ électrique et le champ magnétique naturel terrestre, au travers de la propriété physique de résistivité électrique, de centaines de mètres à plusieurs centaines de kilomètres. Elle est couramment utilisée pour détecter des zones conductrices en profondeur (caprock de réservoir géothermique, aquifères, systèmes hydrothermaux, minerais, systèmes magmatiques...). Dans le cadre du suivi volcanique de Mayotte, la qualité du signal dépend de l'activité solaire et des conditions de bruits anthropiques.

Trois stations magnétotelluriques permanentes sont installées à Mayotte à proximité de la plage de Moya, du Mont Combani et sur le terrain de l'Aéroport de Dzaoudzi. Ces stations enregistrent le champ électromagnétique naturel à l'aide de sondes magnétiques à induction et de dipôles électriques à une fréquence d'échantillonnage de 128 Hz. La qualité des sondages et des données dépend essentiellement des deux paramètres suivants : i) la qualité du contact au niveau des électrodes, qui est liée à l'humidité du sol donc impactée par le climat local, l'exposition des sols au soleil, la perméabilité du milieu d'implantation, ii) le niveau de bruit électromagnétique ambiant des sites.

Les données sont traitées quotidiennement sur des séries temporelles d'une durée de 2 jours. Des chroniques temporelles de résistivité apparentes et de phases sont obtenues sur le mois. Un sondage MT mensuel est réalisé par calcul sur l'intégralité des données (résistivité apparente et phase en fonction de la fréquence) et un modèle de résistivité en fonction de la profondeur est calculé pour chaque site (par inversion 1D).

**Compte tenu de pannes sur les stations, nous ne sommes pas en mesure de produire un bulletin d'observation pour mars 2026.**

### Note Technique :

Un sondage MT est calculé mensuellement à partir des données MT du réseau. Celui-ci est constitué de deux tenseurs représentant des propriétés physiques du milieu investigué, au travers des relations entre les deux composantes du champ électrique (x ou NS et y ou EW) et du champ magnétique (x ou NS et y ou EW) :

- Le tenseur de résistivité apparente, qui représente pour chaque période une moyenne géométrique de la résistivité électrique du milieu sous la station depuis la surface jusqu'à une profondeur limite (cette profondeur augmente quand la fréquence diminue). De faibles valeurs indiquent des milieux conducteurs.
- Le tenseur de phase, qui exprime le retard généré par le milieu investigué, entre chaque composante de champ magnétique et électrique. Lorsque l'onde rencontre un milieu conducteur, un décalage de phase est observé.

Pour chaque site de mesure, sont donc estimées 4 composantes de résistivité apparente ( $\rho_{xy}$ ,  $\rho_{yx}$ ,  $\rho_{xx}$ ,  $\rho_{yy}$ ) et 4 composantes de phase ( $\varphi_{xy}$ ,  $\varphi_{yx}$ ,  $\varphi_{xx}$ ,  $\varphi_{yy}$ ) qui constituent ensemble un sondage magnétotellurique. Au vu de la multitude et de la complexité des observables MT, est également calculé un sondage simplifié, où la géologie est ramenée à un milieu 1D, tabulaire (succession de couches de résistivités différentes) : le déterminant du tenseur d'impédance magnétotellurique fournit ainsi une composante résistivité apparente  $\rho_{det}$  et une phase  $\varphi_{det}$ .



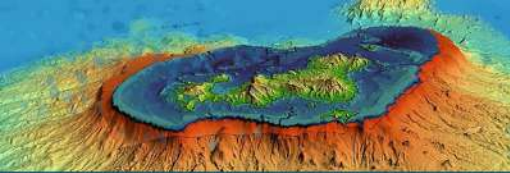
## Phénoménologie

### En mer

Sur la zone de l'édifice volcanique et en l'état actuel des connaissances, l'ensemble des données bathymétriques acquises lors des différentes campagnes MAYOBS (*Rinnert et al., 2019*) montrent que l'éruption a produit, en date de fin octobre 2021, un volume estimé d'environ 6,55 km<sup>3</sup> de lave (sous réserve de calculs plus précis) depuis le début de son édification (sans correction de la vésicularité très variable des laves émises). Selon les différents modèles et interprétations proposées à ce jour, l'éruption aurait pu débuter le 18 juin 2018 (modèle de *Cesca et al., 2020*), voire le 3 juillet 2018 (modèle de *Lemoine et al., 2020*). Sur une période de 10 mois (de juillet 2018 - début des déformations de surface enregistrées à Mayotte – au 18 mai 2019), le flux éruptif minimum moyen de lave a été d'environ 172-181 m<sup>3</sup>/s sur une durée maximale de 320 à 336 jours. Depuis la découverte de l'édifice volcanique, quatre nouveaux points de sortie distants ont été identifiés et ont produit : 1) au sud environ 0,2 km<sup>3</sup> de lave en 30 jours (19 mai-17 juin 2019) pour un flux minimum moyen de l'ordre de 77m<sup>3</sup>/s ; 2) à l'ouest environ 0,3 km<sup>3</sup> de lave en 43 jours (entre le 18 juin et le 30 juillet 2019) pour un flux minimum moyen de 81 m<sup>3</sup>/s ; 3) au nord environ 0,08 km<sup>3</sup> de lave en 21 jours (entre le 31 juillet et le 20 août 2019) pour un flux minimum moyen de l'ordre de 44 m<sup>3</sup>/s. ; 4) au nord-ouest environ 0,8 km<sup>3</sup> de lave en 265 jours maximum (entre le 21 août 2019 et le 11 mai 2020) pour un flux minimum moyen de l'ordre de 35 m<sup>3</sup>/s ; 5) au nord-ouest entre 0,1 à 0,2 km<sup>3</sup> de lave en 153 jours (entre le 11 mai et le 11 octobre 2020) pour un flux minimum moyen de l'ordre de 11 m<sup>3</sup>/s. La campagne MAYOBS17 (*Thinon et al., 2021*) a montré que de nouvelles émissions de lave ont eu lieu sur le site au nord-ouest entre fin octobre 2020 et le 18 janvier 2021. La campagne de surveillance MAYOBS18 (du 09 au 13 avril 2021 ; *Rinnert et al., 2021a*) n'a pas mis en évidence la présence de nouvelles coulées de lave dans la zone nord-ouest. **Lors des cinq dernières campagnes sur site**, MAYOBS21 (13 septembre au 4 octobre 2021 ; *Rinnert et al., 2021c*), MAYOBS23 (9 au 22 juillet 2022 ; *Jorry et al., 2022*), MD242-MAYOBS25 (11 au 28 septembre 2023 ; *Thinon et Lebas, 2023*), MD246-MAYOBS30 (16 septembre au 10 octobre 2024 ; *Komorowski, Paquet et al, 2024*) et MD248-MAYOBS33 (25 septembre au 14 octobre 2025, *Komorowski et Thinon, 2025*), **à nouveau, aucune nouvelle coulée de lave n'a été mise en évidence dans le secteur de Fani Maoré via les données de sondeur multifaisceaux coque. Depuis début 2021, l'éruption est probablement arrêtée mais aucune hypothèse n'est pour l'instant écartée quant à l'évolution de la situation à venir (arrêt définitif, reprise de l'activité éruptive sur le même site, reprise de l'activité éruptive sur un autre site), compte tenu de l'activité sismique persistante et d'émissions de fluides localisées dans la zone du Fer à Cheval.**

Les volumes et flux éruptifs, notamment au début de la crise, ont été exceptionnels et ont été, compte tenu des incertitudes, globalement les plus élevés observés sur un volcan effusif depuis l'éruption du Laki (Islande) en 1783 CE dont le flux moyen éruptif avait été estimé à 694 m<sup>3</sup>/s sur 245 jours d'éruption (*Thordarson et Self, 1993*).

Afin de mieux caractériser la bathymétrie à proximité de la côte et pour palier à l'absence de données bathymétriques proche des côtes, des données ultra-côtières ont été acquises lors des campagnes MAYOBS18 (du 09 au 13 avril 2021 ; *Rinnert et al., 2021a*) et MAYOBS19 (du 27 mai au 01 juin 2021 ; *Rinnert et al., 2021b*) complétant ainsi une partie de la cartographie du tombant récifal de Petite-Terre entre la passe de Longoni et la zone nord-est de Petite-Terre. **Lors de la dernière campagne MD248-MAYOBS33 (du 25 septembre au 14 octobre 2025 ; *Komorowski et Thinon, 2025*), aucune modification majeure dans la morphologie et la topographie du fond marin n'a été détectée à la résolution du système d'acquisition du sondeur multifaisceaux coque au niveau de la côte de Mayotte.**



## Géologie

Les six dragages de la campagne MAYOBS21 (13 septembre au 4 octobre 2021 ; *Rinnert et al., 2021c*) ont permis d'échantillonner avec succès quatre petits édifices pyroclastiques anciens dans la zone du Fer à Cheval, de la Couronne et de la chaîne volcanique à l'Est du Fer à Cheval, formés par l'activité volcanique explosive, ainsi que deux coulées de lave distales des premières phases d'activité du nouveau volcan. Des prélèvements géologiques par drague à roche ont également été réalisés lors de la campagne MD246-MAYOBS30 (16 septembre au 10 octobre 2024 ; *Komorowski et Paquet, 2024*) sur 8 sites. Sur tous ces sites du matériel pyroclastique sur des cônes volcaniques anciens issus d'une activité sous-marine explosive a été prélevé, principalement dans la zone du Fer à Cheval. Les analyses en géochimie de roche totale des roches collectées lors de la campagne MD246-MAYOBS30 dans la zone du Fer à Cheval ou à proximité sont caractéristiques d'éruptions explosives mais aussi effusives ayant produit des compositions de phonolites évoluées ainsi que des phonolites classiques non évoluées. Au moins trois sites ont produit des magma basanitiques. Certains échantillons semblent avoir un âge récent mais d'autres sont plus anciens car recouverts d'une fine pellicule d'oxydes de manganèse. Des enclaves probablement d'origine mantellique et/ou crustale ont été retrouvées dans certains fragments de ces dragues ainsi qu'un riche assemblage de roches volcaniques formant le substratum volcanique ancien de la zone qui ont été arrachés par la remontée du magma qui ont donné naissance aux cônes pyroclastiques. Ces fragments accidentaux ("lithiques") ont une grande importance dans la reconstruction du passé éruptif de la zone du Fer à Cheval recouverte par les produits volcaniques récents.

Lors de la campagne MD246-MAYOBS30 (*Komorowski et Paquet, 2024*) deux cônes pyroclastiques, situés à environ 700 m et 2000 m à l'est de l'île de Petite Terre, ont été échantillonnés. Ces cônes se situent dans l'alignement Petite Terre – Fer à Cheval et constituent la première évidence de volcanisme sur la Chaîne volcanique orientale sous-marine de Mayotte à l'Est du récif. Les fragments récoltés sont des brèches contenant des fragments anguleux de scories oxydées dans une matrice carbonatée, recouvertes d'une croûte d'oxydes de manganèse. Ces échantillons indiquent un volcanisme explosif basanitique très ancien sur cette partie de la Chaîne sous-marine. Une falaise d'environ 200 mètres de hauteur localisée au nord-est du Fer à Cheval a pu être échantillonnée sous un dôme pyroclastique déjà échantillonné. Cette drague a permis de remonter 100 kg de scories indurées et de bombes armées basanitiques recouvertes d'une croûte d'oxydes de manganèse. Ces échantillons témoignent donc d'un épisode volcanique explosif ancien important dans la zone du Fer à Cheval. Quelques pyroclastes phonolitiques du dôme sus-jacent ont également été collectés.

**L'échantillonnage des laves anciennes par dragage s'est poursuivi lors de la campagne MD248-MAYOBS33 (*Komorowski et Thinon, 2025*) avec 3 opérations de dragages qui ont permis d'échantillonner avec succès deux zones du Fer à Cheval ainsi qu'un édifice volcanique localisé au nord-est de Petite-Terre (Figures 22 et 23). Tous ces édifices ont probablement été formés par une activité volcanique de type effusif et explosif.**

**Les opérations de dragues à roche avaient pour objectif d'explorer et de prélever des roches sur la partie supérieure de la chaîne volcanique sous-marine active sur le flanc Est de Mayotte. Les choix se sont concentrés sur cette zone à cause de l'installation future du réseau MARMOR et de potentiels DCP qui empêcheront tout prélèvement ultérieurement :**

- La drague DR47 sur le flanc externe sud du cône pyroclastique (dynamisme explosif) du Fer à Cheval (Figure 22). Cette drague a permis de remonter 800 kg de phonolites denses, sombres et d'aspect frais. Quelques fragments se distinguent par leur texture (Figure 23). (1) Des fragments centimétriques à pluri-centimétriques présentant une texture fibreuse, de type « churros », ont été identifiées. Ils ont une couleur variant de noir à vert claire qui pourrait découler d'une altération hydrothermale variable. (2) Des blocs sont fragiles à friables (se désagrègent au toucher) et sont constitués de fragments agrégés. Une altération hydrothermale variable est également observée. La présence de ces échantillons pyroclastiques résulterait d'un volcanisme explosif.
- La drague DR48 (sur un cône dans l'alignement nord-est de Petite-Terre (Figure 22). Ce cône est situé à 700 mètres de profondeur, entre Petite Terre et la drague DR34 réalisée lors de MAYOBS23. Les roches remontées en surface (200 kg) sont des brèches carbonatées constituées de fragments

scoriacés oxydés et des bombes vésiculées présentant une bordure ocre/marron. L'absence d'encroûtement de manganèse recouvrant les brèches et les bombes, contrairement à ceux observés sur les dragues MAY23-DR34 et MAY23-DR35, indique que ce cône est probablement plus récent que celles collectées par les dragues MAY23-DR34 et MAY23-DR35.

- La drague DR49 sur un bloc de dépôt d'avalanche de débris identifié lors de la campagne GéoFlamme (*Rinnert et., 2021d*) localisé au nord de la ride est du FAC (Figure 22). Cette drague a remonté 200 kg de fragments d'agrégat volcanique sombres, friables et mal triés.

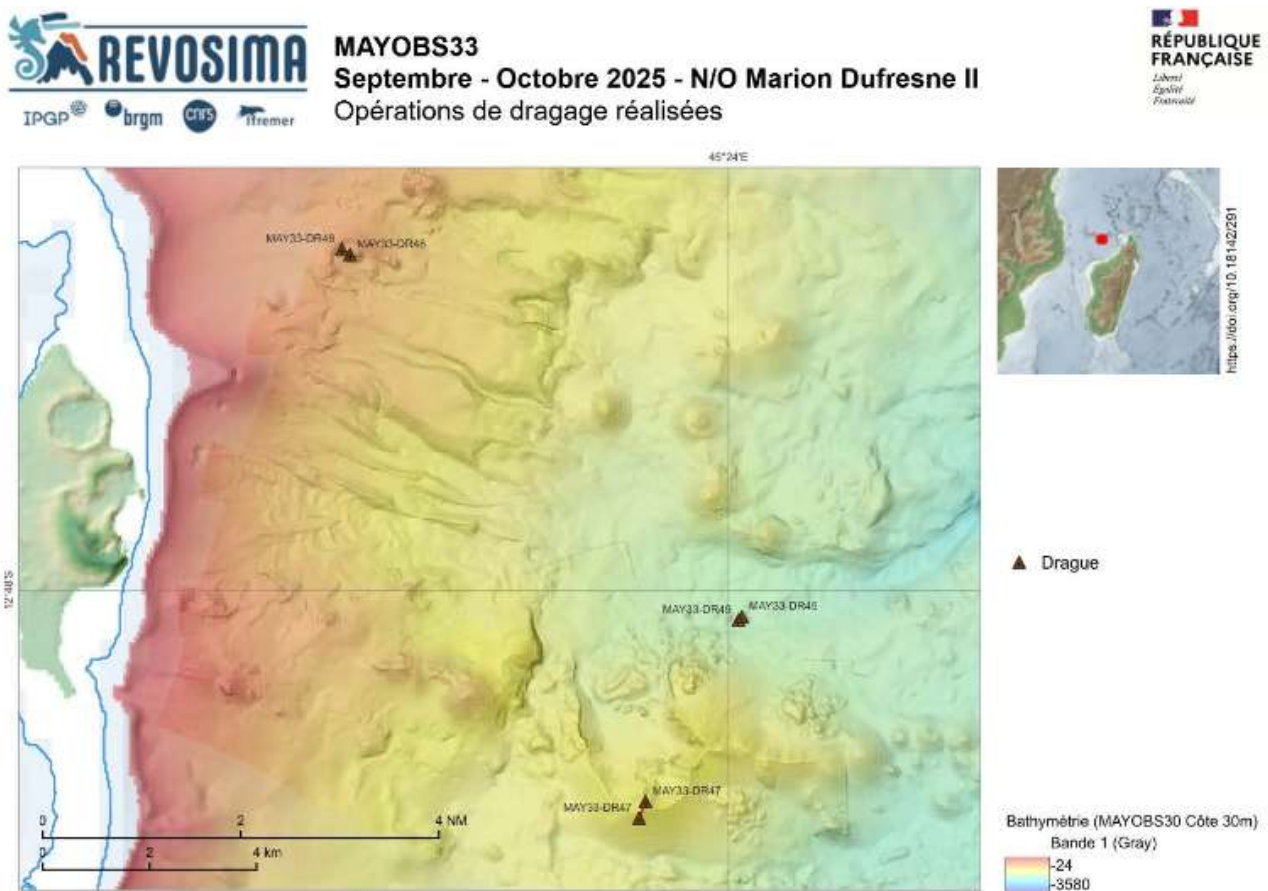


Figure 22 : Localisation des dragues réalisés lors de la campagne MD248-MAYOSB33 (© REVOSIMA).

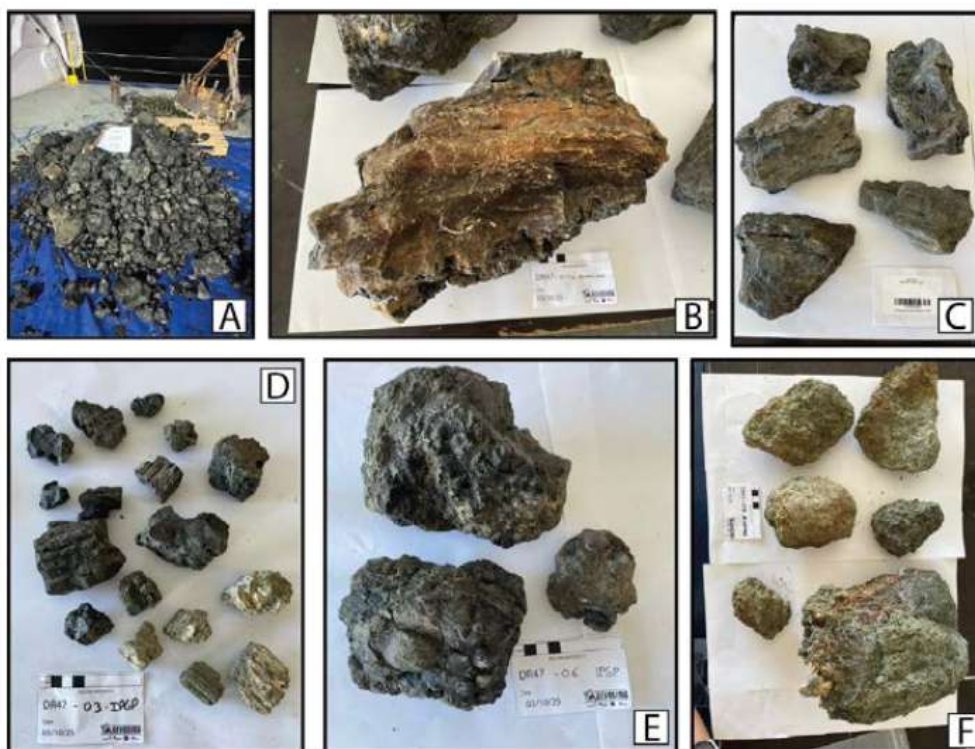


Figure 23 : Photos du matériel collecté a) par la drague DR47 lors de la campagne MD248-MAYOSB33 (© REVOSIMA) (voir localisation sur la **Figure 22**). b-c) Fragments de coulées de lave. d-e-f) Pyroclastes, bombes et agrégats de pyroclastes .

Tous ces échantillons ont une importance significative car ils permettront de :

- Mieux contraindre l'origine, la teneur en gaz, la composition chimique et le dynamisme éruptif de la zone, notamment celle du Fer à Cheval, une région qui a été la plus active de la chaîne volcanique et qui a produit une grande diversité de dynamismes éruptifs caractérisés par la prédominance d'éruptions explosives, à partir d'une multitude de petits édifices, ayant émis des magmas phonolitiques, riches en gaz, qui ont séjourné et évolué pendant des périodes longues dans la lithosphère, mais qui sont remontés rapidement en surface, ainsi que par l'émission de magmas basanitiques similaires à ceux éruptés sur le nouveau volcan;
- Compléter la compréhension du fonctionnement des systèmes magmatiques de la chaîne volcanique sous-marine orientale de Mayotte et notamment les liens entre les zones de production et de stockage magmatique de la région du Fer à Cheval et de la Couronne avec celles ayant été impliquées dans la formation du nouveau volcan Fani Maoré.

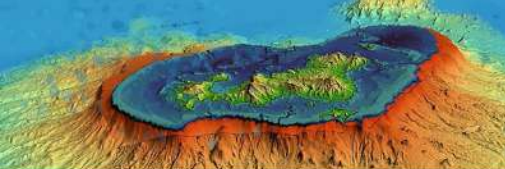
Le CSS du REVOSIMA,  
Le 7 avril 2026

## Références

- Altamimi, Z., Rebischung, P., Collilieux, X., Métivier, L., & Chanard, K. (2023), ITRF2020: an augmented reference frame refining the modeling of nonlinear station motions. *Journal of Geodesy*, 97(5), 47. <https://link.springer.com/article/10.1007/s00190-023-01738-w>
- Audru et al. (2006), BATHYMAÏ : Underwater structure of Mayotte Island revealed by multibeam bathymetry / Bathymay : la structure sous-marine de Mayotte révélée par l'imagerie multifaisceaux. *Comptes Rendus Géosciences*. 338. 1240-1249. [10.1016/j.crte.2006.07.010](https://doi.org/10.1016/j.crte.2006.07.010)
- Beauducel et al. (2010), Recent advances in the Lesser Antilles observatories Part 2: WebObs - an integrated web-based system for monitoring and networks management, Paper presented at the European Geophysical Union General Assembly, Vienna, May 2010
- Beauducel et al. (2014), Real-time source deformation modeling through GNSS permanent stations at Merapi volcano (Indonesia), AGU Fall Meeting, December 2014, San Francisco, poster V412B-4800
- Beauducel, F. et al. (2020), WebObs: The volcano observatories missing link between research and real-time monitoring, *Front. Earth Sci.* | doi: 10.3389/feart.2020.00048
- Berthod, C., Médard, E., Bachèlery, B., Gurioli, L., Di Muro, A., Peltier, A., Komorowski, J-C., Benbakkar, M., Devidal, J-L., Langlade, J., Besson, P., Boudon, G., Rose-Koga, E., Deplus, C., Le Friant, A., Bickert, M., Nowak, S., Thinson, I., Burckel, P., Hidalgo, S., Kaliwoda, M., Jorry, S., Fouquet, Y., Feuillet, N. (2021a), The 2018-ongoing Mayotte submarine eruption: magma migration imaged by petrological monitoring. *Earth Planetary Science Letters*, 57, 117085, <https://doi.org/10.1016/j.epsl.2021.117085>
- Berthod, C., Médard, E., Di Muro, A., Hassen Ali, T., Gurioli, L., Chauvel, C., Komorowski, J-C., Bachèlery, P., Peltier, A., Benbakkar, M., Devidal, J-L., Besson, P., Le Friant, A., Deplus, C., Nowak, S., Thinson, I., Burckel, P., Hidalgo, S., Feuillet, N., Jorry, S., Fouquet, Y. (2021b), Mantle xenolith-bearing phonolites and basanites feed the active volcanic ridge of Mayotte (Comoros archipelago, SW Indian Ocean), *Contributions to Mineralogy and Petrology*, 176:75, <https://doi.org/10.1007/s00410-021-01833-1>
- Berthod, C., Komorowski, J.-C., Gurioli, L., Médard, E., Besson, P., Bachèlery, P., Verdurme, P., Chevrel, O., Di Muro, A., Devidal, J.-L., Nowak, S., Thinson, I., Burckel, P., Hidalgo, S., Deplus, C., Réaud, Y., Fouchard, S., Bickert, M., Le Friant, A., Feuillet, N., S., Fouquet, Y., E., Cathalot, C., Lebas, E. (2022), Temporal magmatic evolution of the Fani Maoré submarine eruption 50km East offshore Mayotte revealed by in situ submarine sampling and petrological monitoring, *Comptes Rendus. Géoscience*, Tome 354, no. S2, pp. 195-223; DOI : 10.5802/crgeos.155
- Bertiger, W., Bar-Sever, Y., Dorsey, A., Haines, B., Harvey, N., Hemberger, D., ... & Willis, P. (2020), GipsyX/RTGx, a new tool set for space geodetic operations and research. *Advances in space research*, 66(3), 469-489
- Bertil et al. (2019), MAYEQSwarm2019 : BRGM earthquake catalogue for the EarthquakeSwarm located East of Mayotte. 2018 May 10th - 2019 May 15th, <https://doi.org/10.18144/rmg1-ts50>
- Bertil, D., Mercury, N., Doubre, C., Lemoine, A., & Van der Woerd, J. (2021), The unexpected Mayotte 2018–2020 seismic sequence: a reappraisal of the regional seismicity of the Comoros. *Comptes Rendus. Géoscience*, 353(S1), 1-25
- Bouidoire, G., Di Muro, A., Liuzzo, M., Ferrazzini, V., Peltier, A., Gurrieri, S., Michon, L., Giudice, G., Kowalski, P. and Boissier, P. (2017), New perspectives on volcano monitoring in a tropical environment: continuous measurements of soil CO2 flux at Piton de la Fournaise (La Réunion Island, France). *Geophysical Research Letters*, 44, doi:10.1002/2017GL074237
- Bouidoire, G., Finizola, A., Di Muro, A., Peltier, A., Liuzzo, M., Grassa, F., Delcher, E., Brunet, C., Boissier, P., Chaput, M., Ferrazzini, V. and Gurrieri, S. (2018), Small-scale spatial variability of soil CO2 flux : implication for monitoring strategy. *Journal of Volcanology and Geothermal Research*, 366, 13-26
- Briole et al. (2008), note de synthèse <http://volcano.iterre.fr/mayotte-seismo-volcanic-crisis>
- Bulletin du BCSF de juillet 2018 : [http://www.franceseisme.fr/donnees/Note\\_macro-BCSF-RENASS-Mayotte-13-07-2018.pdf](http://www.franceseisme.fr/donnees/Note_macro-BCSF-RENASS-Mayotte-13-07-2018.pdf)
- Bulletins mensuels OVPF/IPGP : [www.ipgp.fr/fr/dernieres-actualites/344](http://www.ipgp.fr/fr/dernieres-actualites/344)
- Cadeau, P., Jézéquel, D., Leboulanger, C., Fouilland, E., Le Floc'h, E., Chaduteau, C., Milesi, V., Guélard, J., Sarazin, G., Katz, A., d'Amore, S., Bernard, C., Ader, M. (2020), Carbon isotope evidence for large methane emissions to the Proterozoic atmosphere. *Sci. Rep.* 10, 18186. <https://doi.org/10.1038/s41598-020-75100-x>
- Cadeau, P., Jézéquel, D., Groleau, A., Di Muro, A., Ader, M. (2022), Impact of the seismo-volcanic crisis offshore Mayotte on the Dziani Dzaha Lake. *Comptes Rendus Géoscience*, 1-18. doi : 10.5802/crgeos.172
- Cathalot, C., Rinnert, E., Scalabrin, C., Fandino, O., Giunta, T., Ondreas, H., ... & Feuillet, N., Large CO2 seeps and hydrates field in the Indian Ocean (Mayotte Island). Under Review at Nature Portfolio.
- Cesca, S. et al. (2020), Drainage of a deep magma reservoir near Mayotte inferred from seismicity and deformation. *Nature Geoscience*, 13(1), 87-93.
- Chanard, K. et al. (2018), Toward a global horizontal and vertical elastic load deformation model derived from GRACE and GNSS station position time series. *Journal of Geophysical Research: Solid Earth*, 123, 3225–3237. <https://doi.org/10.1002/2017JB015245>

- Debeuf (2004), Étude de l'évolution volcano-structurale et magmatique de Mayotte, Archipel des Comores, océan Indien : approches structurale, pétrographique, géochimique et géochronologique. Thèse de doctorat soutenu à l'université de la Réunion
- Di Muro et al. (2019), rapport interne, OVPF-IPGP du 04-04-2019
- Di Muro, A., Métrich, N., Allard, P., Aiuppa, A., Burton, M., Galle, B. and Staudacher, T. (2016), Magma degassing at Piton de la Fournaise volcano. In *Active Volcanoes of the Southwest Indian Ocean* (pp. 203-222). Springer, Berlin, Heidelberg
- Dorel, J., Feuillard, M. (1980), Note sur la crise sismo-volcanique à la Soufrière de La Guadeloupe 1975–1977, *Bull. Volcano.*, 43(2), 419-430
- Famin, V., Michon, L., & Bourhane, A. (2020), The Comoros archipelago: a right-lateral transform boundary between the Somalia and Lwandle plates. *Tectonophysics*, 789, 228539
- Feuillet, N. et al., Birth of a large volcano offshore Mayotte through lithosphere-scale rifting, *Nature Geosciences*, August 2021, <https://doi.org/10.1038/s41561-021-00809-x>
- Feuillet, N. (2019), MAYOBS1 cruise, RV Marion Dufresne, <https://doi.org/10.17600/18001217>
- Hanks, T. C., Kanamori, H. (1979), A moment magnitude scale, *Journal of Geophysical Research*, 84, 5, 2348 - 2350, 9B0059,  
Doi :10.1029/JB084iB05p02348
- Heumann, A., Margirier, F., Rinnert, E., Lherminier, P., Scalabrin, C., Geli, L., Pasqueron de Fommervault, O., and Beguery, L.: 30 months dataset of glider physico-chemical data off Mayotte Island near the Fani Maoré volcano, *Earth Syst. Sci. Data Discuss.* [preprint], <https://doi.org/10.5194/essd-2024-377>, in review, 2024.
- Jorry, S., Paquet, F., Lebas, E. (2022), MAYOBS23 cruise, RV Marion Dufresne, <https://doi.org/10.17600/18002494>
- Komorowski, J-C, Paquet, F. (2024), MAYOBS23 cruise, RV Marion Dufresne, <https://doi.org/10.17600/18003592>
- Komorowski, J-C, Thinon I. (2025), MAYOBS33 cruise, RV Marion Dufresne, <https://doi.org/10.17600/18004000>
- Laurent, A., Satriano, C., Bernard, P (2025), Source Parameters of Very Low Frequency Events During the Mayotte Seismo-Volcanic Crisis (May 2018–January 2022), *Geophysical Journal International*, 2025, ggaf512, <https://doi.org/10.1093/gji/ggaf512>
- Lavayssière, A., Crawford, W. C., Saurel, J. M., Satriano, C., Feuillet, N., Jacques, E., & Komorowski, J. C. (2022), A new 1D velocity model, and absolute locations image the Mayotte seismo-volcanic region. *Journal of Volcanology and Geothermal Research*, 421, 107440, <https://doi.org/10.1016/j.jvolgeores.2021.107440>
- Lavayssière, A., Bazin, S., & Royer, J. Y. (2024). Hydroacoustic Monitoring of Mayotte Submarine Volcano during Its Eruptive Phase. *Geosciences*, 14(6), 170.
- Lebas, E. (2022), MAYOBS22 cruise, RV OSIRIS II, <https://doi.org/10.17600/18003293>
- Lebas, E., Besançon, S. (2023), MAYOBS24 cruise, RV OSIRIS II, <https://doi.org/10.17600/18003294>
- Leboulanger, C., Agogué, H., Bernard, C., Bouvy, M., Carré, C., Cellamare, M., Duval, C., Fouilland, E., Got, P., Intertaglia, L., Lavergne, C., Le Floc'h, E., Roques, C., Sarazin, G. (2017), Microbial Diversity and Cyanobacterial Production in Dziani Dzaha Crater Lake, a Unique Tropical Thalassohaline Environment. *PLOS ONE* 12, e0168879. <https://doi.org/10.1371/journal.pone.0168879>
- Lemoine et al. (2020), The 2018–2019 seismo-volcanic crisis east of Mayotte, Comoros islands: seismicity and ground deformation markers of an exceptional submarine eruption, *Geophys. J. Int.*, 223(1), 22–44, <https://doi.org/10.1093/gji/ggaa273>
- Liuzzo, M., Gurrieri, S., Giudice, G. and Giuffrida, G. (2013), Ten years of soil CO<sub>2</sub> continuous monitoring on Mt. Etna : Exploring the relationship between processes of soil degassing and volcanic activity. *Geochemistry, Geophysics, Geosystems*, 14(8), pp.2886-2899
- Liuzzo, M., Di Muro, A., Rizzo, A.L., Caracausi, A., Grassa, F., Fournier, N., Moreira, M., Shafik, B., Boudoire, G., Coltorti, M., Italiano, F. (2021), Gas geochemistry at Grande Comore and Mayotte volcanic islands (Comoros Archipelago, Indian Ocean). *G3*, e2021GC009870
- Liuzzo, M., Di Muro, A., Rizzo, AL., Grassa, F., Coltorti, M., Ader, M. (2022), The composition of gas emissions at Petite Terre (Mayotte, Comoros): inference on magmatic fingerprints. *Comptes Rendus. Géoscience*, Online first (2022), pp. 1-24. doi : 10.5802/crgeos.148.
- Mastin, M., Cathalot, C., Fandino, O., Giunta, T., Donval, J. P., Guyader, V., ... & Rinnert, E. (2023), Strong geochemical anomalies following active submarine eruption offshore Mayotte. *Chemical Geology*, 640, 121739.
- Milesi, V. P., Debure, M., Marty, N. C. M., Capano, M., Jézéquel, D., Steefel, C., Rouchon, V., Albéric, P., Bard, E., Sarazin, G., Guyot, F., Virgone, A., Gaucher, É. C., and Ader, M. (2020), Early diagenesis of lacustrine carbonates in volcanic settings: the role of Magmatic CO<sub>2</sub> (Lake Dziani Dzaha, Mayotte, Indian Ocean). *ACS Earth Space Chem.*, 4, 363–378.
- Murphy, D., Bertiger, W., Hemberger, D., Komanduru, A., Peidou, A., Ries, P., & Sibthorpe, A. (2024), Jet Propulsion Laboratory Analysis Center Technical Report 2024. In R. Dach & E. Bockmann (Eds.), *International GNSS Service Technical Report 2024 (IGS Annual Report)*. IGS Central Bureau and University of Bern; Bern Open Publishing. <https://doi.org/10.48350/191991>
- Nehlig et al. (2013), Notice de la carte géologique de Mayotte, BRGM/RP-61803-FR, 135 p., 45 ill., 1 ann., 2013
- Pelleter et al. (2014), Melilite-bearing lavas in Mayotte (France): An insight into the mantle source below the Comores. *Lithos*, Elsevier, 2014, 208-209, 281-297

- Peltier, A., Saur, S., Ballu, V., Beauducel, F., Briole, P., Chanard, K., Dausse, D., De Chabalier, JB., Grandin, R., Rouffiac, P., Tranchant, YT. et al. (2022), Ground deformation monitoring of the eruption offshore Mayotte. *Comptes Rendus. Géoscience*, pp. 1-23. <https://doi.org/10.5802/crgeos.176>
- Pérez, N.M., Padilla, G.D., Padrón, E., Hernández, P.A., Melián, G.V., Barrancos, J., Dionis, S., Nolasco, D., Rodríguez, F., Calvo, D. and Hernández, Í. (2012), Precursory diffuse CO<sub>2</sub> and H<sub>2</sub>S emission signatures of the 2011–2012 El Hierro submarine eruption, Canary Islands. *Geophysical Research Letters*, 39(16)
- Rebischung, P., Altamimi, Z., Métivier, L. et al. (2024), Analysis of the IGS contribution to ITRF2020. *J Geod* 98, 49. <https://doi.org/10.1007/s00190-024-01870-1>
- Retailleau L., Saurel J.-M., Zhu W., Satriano C., Beroza G. C., Issartel S., Boissier P., OVPF Team, OVSM Team (2022a), A wrapper to use a machine-learning-based algorithm for earthquake monitoring, *Seismological Research Letter*, 93(3), 1673-1682.
- Retailleau, L., Saurel, J.M., Laporte, M., Lavayssière, A., Ferrazzini, V., Zhu, W., Beroza, G.C., Satriano, C., Komorowski, J.C. and OVPF Team (2022b). Automatic detection for a comprehensive view of Mayotte seismicity. *Comptes Rendus. Géoscience*, 354(S2), pp.1-18.
- Rinnert, E., Lebas, E., Komorowski, J.-C., Paquet, F., Jorry, S., Feuillet, N., Thinon, I., Fouquet, Y. (2019), MAYOBS, <https://doi.org/10.18142/291>
- Rinnert, E., Thinon, I., Feuillet, N. (2020), MD 228 / MAYOBS15 cruise, RV Marion Dufresne, <https://doi.org/10.17600/18001745>
- Rinnert, E., Thinon, I., Lebas, E. (2021a), MAYOBS18 cruise, RV Pourquoi pas ?, <https://doi.org/10.17600/18001984>
- Rinnert, E., Paquet, F., Lebas, E. (2021b), MAYOBS19 cruise, RV Pourquoi pas ?, <https://doi.org/10.17600/18001985>
- Rinnert, E., Thinon, I., Lebas, E. (2021c), MAYOBS21 cruise, RV Marion Dufresne, <https://doi.org/10.17600/18001986>
- Rinnert, E., Cathalot C., Feuillet N. (2021d) GEOFLAMME cruise, RV Pourquoi pas?, <https://doi.org/10.17600/18001297>
- Rizzo, A.L., Federico, C., Inguaggiato, S., Sollami, A., Tantiillo, M., Vita, F., Bellomo, S., Longo, M., Grassa, F. and Liuzzo, M. (2015), The 2014 effusive eruption at Stromboli volcano (Italy): Inferences from soil CO<sub>2</sub> flux and 3He/4He ratio in thermal waters. *Geophys. Res. Lett.*, 42, 2235–2243, doi:10.1002/2014GL062955
- Rizzo, A. L., Di Piazza, A., de Moor, J.M., Alvarado, G.E., Avaré, G., Carapezza, M.L. and Mora, M.M. (2016), Eruptive activity at Turrialba volcano (Costa Rica): Inferences from 3He/4He in fumarole gases and chemistry of the products ejected during 2014 and 2015. *Geochem. Geophys. Geosyst.*, 17, 4478-4494
- Sanjuan et al. (2008), Estimation du potentiel géothermique de Mayotte : Phase 2` Etape 2. Investigations géologiques, géochimiques et géophysiques complémentaires et synthèse des résultats, rapport final, BRGM/RP-56802-FR, 82 p., 18 fig., 3 tabl., 6 ann.
- Sano, Y., Kagoshima, T., Takahata, N., Nishio, Y., Roulleau, E., Pinti, D.L. and Fischer, T.P. (2015), Ten-year helium anomaly prior to the 2014 Mt Ontake eruption. *Scientific reports*, 5, 13069
- Sarazin, G., Jézéquel, D., Leboulanger, C., Fouilland, E., Le Floch, E., Bouvy, M., Gérard, E., Agogué, H., Bernard, C., Hugoni, M., Grossi, V., Troussellier, M., Ader, M. (2021), Geochemistry of an endorheic thalassohaline ecosystem: the Dziani Dzaha crater lake (Mayotte Archipelago, Indian Ocean). *Comptes Rendus Géoscience* 352, 559–577. <https://doi.org/10.5802/crgeos.43>
- Saurel, J. M., Jacques, E., Aiken, C., Lemoine, A., Retailleau, L., Lavayssière, A., et al. (2022), Mayotte seismic crisis: building knowledge in near real-time by combining land and ocean-bottom seismometers, first results. *Geophysical Journal International*, 228(2), 1281-1293, <https://doi.org/10.1093/gji/ggab392>
- Shom (2016), MNT Bathymétrie de façade de Mayotte (Projet Homonim). [http://dx.doi.org/10.17183/MNT\\_MAY100m\\_HOMONIM\\_WGS84](http://dx.doi.org/10.17183/MNT_MAY100m_HOMONIM_WGS84)
- Sigmarsson et al. (2015), *EPSL*, doi : 10.1016/j.epsl.2015.06.054
- Thinon, I., Rinnert, E., Feuillet, N. (2021), MAYOBS17 cruise, RV Pourquoi pas ?, <https://doi.org/10.17600/18001983>
- Thinon, I., Lemoine, A., Leroy, S., Paquet, F., Berthod, C., Zaragosi, S., et al., (2022), Volcanism and tectonics unveiled in the Comoros Archipelago between Africa and Madagascar. *Comptes Rendus. Géoscience*, 354(S2), 7-34
- Thinon, I., Lebas, E. (2023) MD242 / MAYOBS25 cruise, RV Marion Dufresne, <https://doi.org/10.17600/18003404>
- Thordarson, Th, Self, S. (1993), The Laki (Skaftar Fires) and Grimsvötn eruptions in 17983-1785. *Bull Volcanol*, 55 :233-263
- Traineau et al., (2006), Etat des connaissances du potentiel géothermique de Mayotte, BRGM/RP-54700-FR, 81 p., 31 ill., 2 ann.
- Vozoff, K. (1972). The magnetotelluric method in the exploration of sedimentary basins. *Geophysics*, 37(1), 98-141.
- Zinke, J., Reijmer, J.J.G., Dullo, W.-Ch., Thomassin, B.A. (2000), Paleoenvironmental changes in the lagoon of Mayotte associated with the Holocene transgression. *GeoLines* 11, Prague, pp.150-153
- Zinke et al. (2003), Postglacial flooding history of Mayotte Lagoon (Comoro Archipelago, southwest Indian Ocean). *Marine Geology*, 194(3–4), 181–196. [https://doi.org/10.1016/S0025-3227\(02\)00705-3](https://doi.org/10.1016/S0025-3227(02)00705-3)
- Zinke et al. (2005), Facies and faunal assemblage changes in response to the Holocene transgression in the Holocene transgression in the Lagoon of Mayotte (Comoro Archipelago, SW Indian Ocean). *Facies* 50 :391–408 DOI 10.1007/s10347-004-0040-7



## Informations

**Pour en savoir plus sur l'activité sismo-volcanique à Mayotte, retrouvez les dernières informations sur :**

- le site de l'IPGP dédié : [www.ipgp.fr/revosima](http://www.ipgp.fr/revosima)
- doi:10.18715/MAYOTTE.REVOSIMA : <http://volobsis.ipgp.fr/revosima/>
- Le BRGM - Direction des Risques et Prévention, en particulier l'Unité Risques sismique et volcanique
- Le BRGM - Direction des Actions Territoriales, en particulier la Direction régionale de Mayotte
- Le site du BRGM : <https://www.brgm.fr/fr/implantation-regionale/mayotte>
- Contacter le BRGM : <https://www.brgm.fr/content/contact>
- le site de l'IFREMER : <https://www.ifremer.fr>
- le site du bureau central sismologique français (BCSF-RENASS) : [www.franceseisme.fr/](http://www.franceseisme.fr/)
- le site du Réseau national de surveillance sismologique RENASS : <https://renass.unistra.fr/fr/zones/>
- le site de GEOSCOPE : <http://geoscope.ipgp.fr/index.php/fr/actualites/actualites-des-seismes>
- le site du NEIC / USGS : <https://earthquake.usgs.gov/earthquakes>
- la page Mayotte dans le site du Global Volcanism Program, Smithsonian Institution, base de données mondiale du volcanisme : <https://volcano.si.edu/volcano.cfm?vn=233005>
- le site de coordination des observations géodésiques à Mayotte maintenu par l'IGN : <http://mayotte.gnss.fr/>
- le site de la préfecture de Mayotte : <https://www.mayotte.gouv.fr/>
- le site des campagnes océanographiques de surveillance du REVOSIMA : <https://doi.org/10.18142/291>

**Il est fondamental pour la prévention du risque sismique et la progression des connaissances scientifiques que toute personne souhaitant témoigner, qu'elle ait ou non ressenti un séisme, puisse déposer son témoignage sur le site BCSF-RENASS (Bureau Central Sismologique Français) à l'adresse : [www.franceseisme.fr](http://www.franceseisme.fr)**

**Les localisations de la sismicité volcanique et tectonique enregistrées par le REVOSIMA en temps réel sont disponibles sur : <https://renass.unistra.fr/fr/zones/mayotte/> et dans le [bulletin quotidien du REVOSIMA](#).**

**Retrouvez ce bulletin et toute l'actualité du REVOSIMA sur :**

- le site web : [www.ipgp.fr/revosima](http://www.ipgp.fr/revosima)
- la page facebook du REVOSIMA : <https://www.facebook.com/ReseauVolcanoSismoMayotte/>

**Un bulletin automatique préliminaire d'activité du REVOSIMA, relatif aux activités de la veille et validé par un.e analyste, est publié quotidiennement depuis le 17 mars 2020, et accessible directement sur ce lien : [https://www.ipgp.fr/volcanoweb/mayotte/Bulletin\\_quotidien/bulletin.html](https://www.ipgp.fr/volcanoweb/mayotte/Bulletin_quotidien/bulletin.html)**

**Ce bulletin est produit par le consortium du REVOSIMA, financé par l'Etat :**

Le réseau de surveillance volcanologique et sismologique de Mayotte (REVOSIMA) est opéré par l'IPGP avec le soutien du [BRGM](#) et est sous la responsabilité de l'observatoire volcanologique du Piton de la Fournaise ([OVPF-IPGP](#)) et de la direction régionale du BRGM à Mayotte. Ce réseau de surveillance, financé par l'État (Ministère de l'enseignement supérieur et de la recherche, Ministère de la transition écologique, Ministère de l'intérieur, Ministère des Outre-mer), bénéficie de l'appui d'un large consortium de partenaires scientifiques français: IPGP et Université Paris Cité, BRGM, IFREMER, CNRS, BCSF-RéNaSS, ITES et Université de Strasbourg, IGN, ENS, SHOM, TAAF, CNES, Université Grenoble Alpes et ISTERre, Université Clermont Auvergne, LMV et OPGC, Université de La Réunion, Université Paul Sabatier, Toulouse et GET-OMP, Université de la Rochelle, Université de Bretagne Occidentale, IRD et collaborateurs.

**Les informations de ce document ne peuvent être utilisées sans y faire explicitement référence.**

[www.ipgp.fr/revosima](http://www.ipgp.fr/revosima)

bluesky : [@revosima.bsky.social](https://bsky.app/profile/@revosima.bsky.social)

facebook : [ObsVolcanoSismoMayotte](https://www.facebook.com/ObsVolcanoSismoMayotte)